

Analiza utjecaja dinamičkog proračuna spremnika tople vode na određivanje potrošnje toplinske energije u zgradi

Benc, Martina

Master's thesis / Diplomski rad

2020

*Degree Grantor / Ustanova koja je dodijelila akademski / stručni stupanj: **University of Zagreb, Faculty of Mechanical Engineering and Naval Architecture / Sveučilište u Zagrebu, Fakultet strojarstva i brodogradnje***

Permanent link / Trajna poveznica: <https://urn.nsk.hr/um:nbn:hr:235:199928>

Rights / Prava: [In copyright/Zaštićeno autorskim pravom.](#)

*Download date / Datum preuzimanja: **2024-04-23***

Repository / Repozitorij:

[Repository of Faculty of Mechanical Engineering and Naval Architecture University of Zagreb](#)



SVEUČILIŠTE U ZAGREBU
FAKULTET STROJARSTVA I BRODOGRADNJE

DIPLOMSKI RAD

Martina Benc

Zagreb, 2020.

SVEUČILIŠTE U ZAGREBU
FAKULTET STROJARSTVA I BRODOGRADNJE

DIPLOMSKI RAD

Mentor:

Prof. dr. sc. Damir Dović, dipl. ing.

Student:

Martina Benc

Zagreb, 2020.

Izjavljujem da sam ovaj rad izradila samostalno koristeći znanja stečena tijekom studija i navedenu literaturu.

Zahvaljujem se svom mentoru Prof.dr.sc. Damiru Doviću, dipl. ing. te asistentima Dr.sc. Ivanu Horvatu, mag.ing. i Petru Filipoviću, mag.ing. na pruženoj pomoći i savjetima prilikom izrade rada.

Posebno se zahvaljujem svojoj obitelji na pruženoj podršci tijekom studiranja.

Martina Benc



SVEUČILIŠTE U ZAGREBU
FAKULTET STROJARSTVA I BRODOGRADNJE



Središnje povjerenstvo za završne i diplomske ispite

Povjerenstvo za diplomske ispite studija strojarstva za smjerove:
procesno-energetski, konstrukcijski, brodostrojarski i inženjersko modeliranje i računalne simulacije

Sveučilište u Zagrebu Fakultet strojarstva i brodogradnje	
Datum:	Prilog:
Klasa: 602 - 04 / 20 - 6 / 3	
Ur. broj: 15 - 1703 - 20 -	

DIPLOMSKI ZADATAK

Student:

Martina Benc

Mat. br.: 0035193251

Naslov rada na hrvatskom jeziku:

Analiza utjecaja dinamičkog proračuna spremnika tople vode na određivanje potrošnje toplinske energije u zgradi

Naslov rada na engleskom jeziku:

Analysis of the hot water storage tank dynamic calculation impact on thermal energy use assessment in a building

Opis zadatka:

U sklopu diplomskog rada potrebno je razviti odgovarajući računalni program za simulaciju godišnje potrošnje isporučene i primarne energije za grijanje i pripremu potrošne tople vode (PTV) u odabranoj zgradi. Osnovni dijelovi termotehničkog sustava su:

- podsustav predaje;
- podsustav razvoda;
- podsustav proizvodnje s toplovodnim kotлом i spremnikom toplinske energije.

Dijelove, dimenzije i toplinski učinak sustava prilagoditi veličini i toplinskim potrebama zgrade te minimalnim uvjetima na gotovo nula energetske zgrade iz odgovarajućih tehničkih propisa.

Za navedene proračune koristiti:

- norme iz skupine HRN EN 15316:2017;
- satnu metodu za dinamički proračun spremnika tople vode prema HRN EN 15316-5:2017 s podjelom spremnika na jedan i više volumnih dijelova.

Rezultate simulacija usporediti s proračunima provedenim u računalnom programu MGIPU Energetski certifikator, kako bi se ocijenio utjecaj satne promjene temperature u spremniku na proračun potrošnje toplinske energije u zgradi.

U radu je potrebno navesti korištenu literaturu i eventualno dobivenu pomoć.

Zadatak zadan:

30. travnja 2020.

Datum predaje rada:

2. srpnja 2020.

Predviđeni datum obrane:

6. – 10.7.2020.

Zadatak zadao:

Predsjednica Povjerenstva:

Prof. dr. sc. Damir Dović

Prof. dr. sc. Tanja Jurčević Lulić

SADRŽAJ

SADRŽAJ	I
POPIS SLIKA	III
POPIS TABLICA.....	IV
POPIS OZNAKA	V
SAŽETAK.....	XI
SUMMARY	XII
1. UVOD	1
2. PRORAČUN SUSTAVA PREDAJE TOPLINE PREMA EN 15316-2 [2]	2
2.1. Proračun toplinske energije na ulazu u podsustav predaje.....	2
2.2. Proračun pomoćne energije podsustava predaje	5
3. PRORAČUN SUSTAVA RAZVODA PREMA EN 15316-3 [3]	7
3.1. Proračun srednje temperature.....	7
3.1.1. Proračun srednje temperature ogrjevnog medija	7
3.1.2. Srednja temperatura vode sustava razvoda PTV-a	8
3.2. Proračun koeficijenata toplinskih gubitaka.....	8
3.3. Toplinski gubici	10
3.3.1. Proračun toplinskih gubitaka razvoda podsustava grijanja.....	10
3.3.2. Proračun toplinskih gubitaka razvoda PTV-a	13
3.3.2.1. Proračun toplinskih gubitaka za vrijeme rada cirkulacijske petlje	13
3.3.2.2. Proračun toplinskih gubitaka cirkulacijske petlje tijekom prekida rada	15
3.3.2.3. Proračun ukupnih toplinskih gubitaka sustava razvoda	15
3.4. Proračun iskoristivih toplinskih gubitaka.....	15
3.5. Proračun pomoćne energije sustava razvoda	16
4. PRORAČUN SUSTAVA PROIZVODNJE PREMA EN 15316-4-1 [4].....	22
4.1. Proračun učinkovitosti i toplinskih gubitaka pri specifičnom opterećenju.....	23
4.1.1. Proračun za puno opterećenje	23
4.1.2. Proračun za djelomično opterećenje	25
4.1.3. Proračun za stanje pripravnosti generatora	25
4.2. Proračun pomoćne energije.....	26
4.3. Proračun učinkovitosti, gubitaka i pomoćne energije pri stvarnom opterećenju	26
5. PRORAČUN SPREMNIKA PREMA NORMI EN 15316-5 [5]	29
5.1. Proračun toplinskih gubitaka spremnika PTV-a	29
5.2. Proračun konačne temperature vode unutar spremnika	30
5.3. Proračun srednje i povratne temperature vode unutar generatora.....	31
6. PRORAČUN ISPORUČENE I PRIMARNE ENERGIJE [1].....	33
6.1. Proračun isporučene energije	33
6.2. Proračun primarne energije	33
7. OPIS SUSTAVA I TIJEK PRORAČUNA.....	34
7.1. Opis zgrade i tehničkog sustava	34

7.2. Tijek proračuna	35
8. REZULTATI PRORAČUNA.....	37
8.1. Podsustav predaje topline zračenjem	37
8.2. Podsustav razvoda.....	37
8.3. Podsustav proizvodnje energije.....	40
8.4. Podsustav spremnika.....	41
9. USPOREDBA REZULTATA PRORAČUNA	42
10. ZAKLJUČAK.....	52
LITERATURA.....	53
PRILOZI.....	54

POPIS SLIKA

Slika 1.	Oznake cjevovoda u sustavu razvoda ogrjevnog medija [1]	11
Slika 2.	Podjela cjevovoda sustava razvoda PTV-a [1].....	14
Slika 3.	Pojednostavljena shema zadanog termotehničkog sustava	35
Slika 4.	Grafički prikaz usporedbe toplinskih gubitaka sustava predaje topline	43
Slika 5.	Grafički prikaz izlazne energije iz podsustava predaje	44
Slika 6.	Grafički prikaz ulazne energije u podsustav predaje.....	45
Slika 7.	Grafički prikaz toplinskih gubitaka sustava razvoda grijanja	46
Slika 8.	Grafički prikaz toplinskih gubitaka sustava razvoda PTV-a.....	47
Slika 9.	Grafički prikaz toplinskih gubitaka generatora	48
Slika 10.	Grafički prikaz toplinskih gubitaka spremnika PTV-a.....	49
Slika 11.	Grafički prikaz primarne energije za pojedini slučaj	50
Slika 12.	Grafički prikaz isporučene energije za pojedini slučaj.....	51

POPIS TABLICA

Tablica 1.	Zadane vrijednosti temperaturnih varijacija za prostorije visine ≤ 4 m	4
Tablica 2.	Zadane vrijednosti temperaturne varijacije uslijed hidrauličkog balansiranja	5
Tablica 3.	Nazivne vrijednosti električne snage ventilatora.....	6
Tablica 4.	Vrijednosti električne snage sustava regulacije.....	6
Tablica 5.	Vrijednosti eksponenata toplinskog učinka ogrjevnih tijela [1].....	7
Tablica 6.	Vrijednosti koeficijenata toplinskih gubitaka cjevovoda	10
Tablica 7.	Aproksimacija duljina cjevovoda za dvocijevni sustav grijanja	12
Tablica 8.	Aproksimacija duljina cjevovoda za jednocijevni sustav grijanja.....	12
Tablica 9.	Aproksimacija duljine cjevovoda sustava razvoda PTV-a	14
Tablica 10.	Dodatni pad tlaka sustava razvoda	17
Tablica 11.	Konstante pumpi sustava razvoda grijanja prostora.....	20
Tablica 12.	Konstante pumpi sustava razvoda PTV-a	20
Tablica 13.	Vrijeme rada pojedine usluge (grijanje prostora ili PTV-a).....	23
Tablica 14.	Faktori konverzije goriva	24
Tablica 15.	Faktor smanjenja temperature i temperatura prostora gdje se nalazi kotao	28
Tablica 16.	Parametri za proračun toplinskih gubitaka spremnika	29
Tablica 17.	Rezultati proračuna podsustava predaje topline zračenjem	37
Tablica 18.	Prosječne vrijednosti srednje temperature ogrjevnog medija.....	37
Tablica 19.	Rezultati proračuna podsustava razvoda grijanja prostora.....	38
Tablica 20.	Rezultati proračuna podsustava razvoda PTV-a	39
Tablica 21.	Rezultati proračuna podsustava proizvodnje.....	40
Tablica 22.	Rezultati proračuna podsustava spremnika	41
Tablica 23.	Prosječne vrijednosti temperatura unutar spremnika	41
Tablica 24.	Usporedba toplinskih gubitaka podsustava predaje	42
Tablica 25.	Usporedba izlazne energije iz podsustava predaje	44
Tablica 26.	Usporedba ulazne energije u podsustav predaje	45
Tablica 27.	Usporedba toplinskih gubitaka sustava razvoda grijanja	46
Tablica 28.	Usporedba toplinskih gubitaka sustava razvoda PTV-a.....	47
Tablica 29.	Usporedba toplinskih gubitaka generatora	48
Tablica 30.	Usporedba toplinskih gubitaka spremnika PTV-a	49
Tablica 31.	Usporedba primarne energije	50
Tablica 32.	Usporedba isporučene energije	51

POPIS OZNAKA

Oznaka	Jedinica	Opis
C_{P1}	-	konstanta za izračun faktora energetskog utroška
C_{P2}	-	konstanta za izračun faktora energetskog utroška
$c_{sto,1}$	-	parametar za izračun gubitaka spremnika tijekom stanja pripravnosti
$c_{sto,2}$	-	parametar za izračun toplinskih gubitaka spremnika tijekom pripravnosti
$c_{sto,3}$	-	parametar za izračun toplinskih gubitaka spremnika tijekom pripravnosti
$c_{sto,4}$	-	parametar za izračun toplinskih gubitaka spremnika tijekom pripravnosti
$c_{sto,5}$	-	parametar za izračun toplinskih gubitaka spremnika tijekom pripravnosti
$C_{p,w}$	Wh/kgK	specifični toplinski kapacitet vode
d_a	m	vanjski promjer cijevi (s izolacijom)
d_i	m	unutarnji promjer cijevi (bez izolacije)
d_{mj}	d	broj dana u mjesecu
$d_{p,a}$	m	vanjski promjer cijevi
$d_{p,i}$	m	unutarnji promjer cijevi
$d_{use,tj}$	d/tj	broj dana u tjednu kada sustav radi
EEI	-	indeks energetske učinkovitosti
$f_{aux,rbl}$	-	faktor iskoristivosti pomoćne energije
$f_{aux,rvd}$	-	dio pomoćne energije predan podsustavu razvoda
f_{brm}	-	faktor redukcije temperature
f_{env}	-	faktor toplinskih gubitaka kroz ovojnicu kotla
f_{comp}	-	faktor otpora komponenata sustava razvoda
$f_{corr,Pn}$	%/°C	korekcijski faktor pri punom opterećenju
$f_{ctr,ls}$		kontrolni faktor
$f_{gen,ls,P0}$	-	faktor gubitaka u stanju pripravnosti
$f_{H,e}$	-	faktoru učinkovitosti pumpe
f_{HB}	-	korekcijski faktor hidrauličkog sustava
f_{H_s/H_i}	-	omjer bruto kalorijske vrijednosti i neto kalorijske vrijednosti
$f_{sto,dis,ls}$	-	korekcijski faktor gubitaka tijekom stanja pripravnosti
H_{exh}	W/K	koeficijent izmjene topline izmjenjivača
H_{lev}	m	visina kata
$H_{sto,ls}$	W/K	koeficijent gubitaka topline tijekom stanja pripravnosti spremnika
h_a	W/m²K	koeficijent prijelaza topline na vanjskoj strani cijevi

k_1	-	udio iskoristivih gubitaka u ukupnim za pojedinu dionicu u ovisnosti o vrsti prostora
k_2	-	udio iskoristivih gubitaka u ukupnim za pojedinu dionicu u ovisnosti o načinu gradnje
L_A	m	duljina spojnih cjevovoda s ogrjevnim tijelima
L_{equi}	m	ekvivalentna duljina ventila
$L_{H,m,j}$	d/mj	broj dana kada ima potrebe za grijanjem u pojedinom mjesecu
$L_{H,max}$	m	maksimalna udaljenost između generatora i najudaljenijeg ogrjevnog tijela
L_j	m	duljina pojedine dionice cjevovoda u zoni
L_L	m	maksimalna razvijena duljina zgrade ili zone
L_W	m	maksimalna razvijena širina zgrade ili zone
$L_{W,j}$	m	duljina dionice petlje
$L_{W,max}$	m	najveća duljina između kotla ili spremnika PTV-a i najudaljenije slavine
L_S	m	duljina vertikalnih cjevovoda
L_{SL}	m	duljina individualnih spojnih cjevovoda izvan cirkulacijske petlje
L_V	m	duljina cjevovoda između generatora i vertikala
$\dot{m}_{bu,n}$	kg/s	nazivni maseni protok vode rezervnog grijaća
N_{lev}	-	broj etaža
n	-	eksponent sustava predaje
n_{fan}	-	broj ventilatora
$P_{aux,P0}$	kW	pomoćna energija pri nultom opterećenju
$P_{aux,Pint}$	kW	pomoćna energija pri djelomičnom opterećenju
$P_{aux,Pn}$	kW	pomoćna energija pri punom opterećenju
$P_{el,pmp}$	kW	nazivna snaga pumpe
P_{ctr}	kW	električna snaga sustava regulacije
P_{fan}	kW	nazivna potrošnja električne energije ventilatora
$P_{H,aux,Px}$	kW	pomoćna energija pri specifičnom faktoru opterećenja
$P_{H,gen,ls,Pint,corr}$	kW	korigirani toplinski gubitak generatora pri djelomičnom opterećenju
$P_{H,gen,ls,Pn,corr}$	kW	korigirani toplinski gubitak generatora pri nazivnom opterećenju
$P_{H,gen,ls,P0,corr}$	kW	korigirani toplinski gubitak kotla u stanju pripravnosti
$P_{H,gen,ls,Px}$	kW	toplinski gubitak kotla pri specifičnom faktoru opterećenja
$P_{H,hydr,des}$	kW	projektna hidraulička snaga cirkulacijske pumpe
$P_{H,ref}$	kW	referentna snaga pumpe
P_{int}	kW	snaga generatora pri djelomičnom opterećenju
P_n	kW	nazivna snaga kotla
$P_{W,aux,Px}$	kW	pomoćna energija pri specifičnom faktoru opterećenja
$P_{W,gen,ls,Pint,corr}$	kW	korigirani toplinski gubitak generatora pri djelomičnom

		opterećenju
$P_{W,gen,ls,Pn,corr}$	kW	korigirani toplinski gubitak generatora pri nazivnom opterećenju
$P_{W,gen,ls,P0,corr}$	kW	korigirani toplinski gubitak kotla u stanju pripravnosti toplinski gubitak kotla pri specifičnom faktoru opterećenja
$P_{W,hydr,des}$	kW	projektna hidraulička snaga sustava PTV-a
$Q_{em,aux,rbl}$	kWh	iskoristivi toplinski gubici pomoćnih uređaja
$Q_{em,aux,rvd}$	kWh	vraćena pomoćna energija
$Q_{em,in}$	kWh	toplinska energija koju je potrebno dovesti podsustavu predaje
$Q_{em,ls}$	kWh	toplinski gubici podsustava predaje
$Q_{em,out}$	kWh	toplinska energija na izlazu iz podsustava predaje topline
$Q_{em,out,inc}$	kWh	povećana energija na izlazu iz podsustava predaje topline uslijed povećanja unutarnje projektne temperature $\theta_{int,ini}$ za $\Delta\theta_{int,inc}$
$Q_{em,rbl}$	kWh	iskoristivi toplinski gubici podsustava predaje
$Q_{emb,ls}$	kWh	toplinski gubici ugrađenih ogrijevnih tijela
$Q_{gen,out}$	kWh	izlazna toplina iz generatora
$Q_{H,gen,aux,rvd}$	kWh	vraćena pomoćna energija koja je predana ogrjevnom mediju
$Q_{H,dis,aux,rbl}$	kWh	iskoristiva pomoćna energija
$Q_{H,dis,aux,rvd}$	kWh	vraćena pomoćna energija sustava razvoda grijanja:
$Q_{H,dis,in}$	kWh	ulazna energija u sustav razvoda grijanja
$Q_{H,dis,ls}$	kWh	toplinski gubitak razvoda grijanja
$Q_{H,dis,out}$	kWh	izlazna toplina iz podsustava razvoda grijanja
$Q_{H,dis,rbl}$	kWh	iskoristivi toplinski gubici sustava razvoda grijanja
$Q_{H,gen,aux,rbl}$	kWh	iskoristiva pomoćna energija sustava grijanja koja se predaje grijanom prostoru
$Q_{H,gen,ls}$	kWh	ukupni toplinski gubitak kotla
$Q_{H,gen,ls,env,rbl}$	kWh	iskoristivi toplinski gubici kroz ovojnicu kotla
$Q_{H,nd}$	kWh	toplinska energija potrebna za grijanje, pri unutarnjoj projektnoj temperaturi $\theta_{int,ini}$
$Q_{H,nd,inc}$	kWh	toplinska energija potrebna za grijanje, pri unutarnjoj projektnoj temperaturi $\theta_{int,inc}$
$Q_{H,out}$	kWh	energija isporučena sustavu grijanja prostora
$Q_{H,stobu,in}$	kWh	stvarna energija koju predaje pomoći grijач
$Q_{H,stobu,in,tmp}$	kWh	potrebna energija pomoćnog grijaća
$Q_{H,stonsup}$	kWh	energija koju je potrebno isporučiti sustavu grijanja nekim drugim sustavom
$Q_{H,stout,req}$	kWh	energija koju je potrebno isporučiti sustavu grijanja prostora
$Q_{ls,rvd,i}$	kWh	iskoristivi gubici grijanja i pripreme PTV-a
$Q_{sto,ls}$	kWh	toplinski gubici spremnika

$Q_{W,dis,in}$	kWh	ulazna energija u sustav razvoda PTV-a
$Q_{W,dis,ls}$	kWh	toplinski gubici cirkulacijske petlje tijekom rada
$Q_{W,dis,ls,total}$	kWh	ukupni toplinski gubici sustava PTV-a s cirkulacijskom petljom
$Q_{W,dis,nom}$	kWh	toplinski gubici cirkulacijske petlje tijekom prekida rada
$Q_{W,gen,aux,rbl}$	kWh	iskoristiva pomoćna energija sustava grijanja koja se predaje grijanom prostoru
$Q_{W,gen,aux,rvd}$	kWh	vraćena pomoćna energija predana potrošnjoj toploj vodi
$Q_{W,gen,ls}$	kWh	ukupni toplinski gubitak kotla
$Q_{W,gen,ls,env,rbl}$	kWh	iskoristivi toplinski gubici kroz ovojnicu kotla
$Q_{W,out}$	kWh	energija isporučena sustavu PTV-a
$Q_{W,sto,nsup}$	kWh	energija koju je potrebno isporučiti sustavu PTV-a nekim drugim sustavom
$Q_{sto,dis,ls}$	kWh	toplinski gubici spremnika
$Q_{W,sto,out,req}$	kWh	energija koju je potrebno isporučiti sustavu PTV-a
$R_{H,max}$	kPa/m	pad tlaka po duljini cjevovoda
$R_{W,max}$	kPa/m	pad tlaka po duljini cjevovoda
t_{ctr}	h	vrijeme rada regulacijskog sustava u promatranom periodu
t_d	h/dan	dnevni broj sati rada u sustavu
t_{fan}	h	vrijeme rada ventilatora u promatranom periodu
$t_{H,uk}$	h	ukupno vrijeme rada sustava za grijanje u promatranom periodu
t_{uk}	h	broj sati u promatranom periodu
t_W	h/dan	dnevni broj sati rada cirkulacijske pumpe
$t_{W,uk}$	h	broj sati u promatranom periodu
$V_{sto,tot}$	l	volumen spremnika
$\dot{V}_{H,des}$	m^3/h	projektni volumni protok sustava grijanja
$\dot{V}_{W,des}$	m^3/h	projektni volumni protok
W_{ctr}	kWh	pomoćna energija sustava regulacije
$W_{em,ls,aux}$	kWh	pomoćna energija sustava predaje
W_{fan}	kWh	pomoćna energija za ventilatore
$W_{H,dis,aux}$	kWh	pomoćna energija potrebna za pogon pumpe
$W_{H,dis,hydr}$	kWh	potrebna hidraulička energija
$W_{H,gen}$	kWh	pomoćna energija ovisno o vremenu korištenja
$W_{W,dis,hydr}$	kWh	potrebna hidraulična snaga cirkulacijske petlje
$W_{W,gen}$	kWh	pomoćna energija ovisno o vremenu korištenja
z	m	dubina ugradnje cijevi unutar zida
β_H	-	faktor opterećenja kotla
$\beta_{H,dis}$	-	faktor opterećenja sustava grijanja
β_{int}	-	faktor djelomičnog opterećenja
β_W	-	faktor opterećenja kotla za zagrijavanje PTV-a
$\Delta\theta_{dis,des}$	$^{\circ}C$	projektna temperaturna razlika polaza i povrata

$\Delta p_{H,add}$	kPa	dodatni pad tlaka komponenata sustava
$\Delta p_{H,des}$	kPa	projektni pad tlaka u sustavu grijanja
$\Delta p_{W,add}$	kPa	dodatni pad tlaka komponenata sustava PTV-a
$\Delta p_{W,des}$	kPa	projektni pad tlaka u sustavu razvoda PTV-a
$\Delta \theta_{ctr}$	°C	varijacija zbog djelovanja regulacije temperature prostorije
$\Delta \theta_{des}$	°C	razlika između prosječne temperature medija i temperature prostorije
$\Delta \theta_{emb}$	°C	temperaturna varijacija uslijed dodatnih gubitaka ugrađenih ogrjevnih tijela
$\Delta \theta_{hydr}$	°C	temperaturna varijacija uslijed hidrauličkog balansiranja
$\Delta \theta_{rad}$	°C	varijacija uslijed zračenja sustava predaje topline
$\Delta \theta_{roomaut}$	°C	temperaturna varijacija uslijed regulacije temperature pojedinih prostorija
$\Delta \theta_{str}$	°C	varijacija temperature uslijed stratifikacije
$\Delta \theta_W$	°C	razlika temperature tople vode na izlazu iz slavine i povratne temperature vode u cirkulacijsku petlju u vremenskom koraku
$\Delta \vartheta_{exh}$	°C	efektivna razlika temperature na izmjenjivaču
$\varepsilon_{H,dis}$	-	faktor energetskog utroška pumpe sustava grijanja prostora
$\varepsilon_{W,dis}$	-	faktor energetskog utroška pumpe sustava razvoda PTV-a
$\eta_{gen,Pint}$	-	učinkovitost generatora pri djelomičnom opterećenju
$\eta_{gen,Pn}$	-	učinkovitost generatora pri punom opterećenju
$\eta_{gen,Pint,corr}$	-	korigirana učinkovitost generatora pri djelomičnom opterećenju
$\eta_{gen,Pn,corr}$	-	korigirana učinkovitost generatora pri nazivnom opterećenju
θ_i	°C	temperatura prostorije
$\theta_{int,inc}$	°C	ekvivalentna unutarnja temperatura
$\theta_{int,ini}$	°C	početna unutarnja temperatura
θ_m	°C	srednja temperatura ogrjevnog medija
$\theta_{r,des}$	°C	projektna temperatura povrata ogrjevnog medija u sustav predaje
$\theta_{s,des}$	°C	projektna temperatura polaza ogrjevnog medija u sustav predaje
θ_W	°C	temperatura tople vode u vremenskom koraku
ϑ_{brm}	°C	temperatura prostorije u kojoj se nalazi generator
$\vartheta_{gen,min}$	°C	minimalna radna temperatura kotla
$\vartheta_{gen,test,P0}$	°C	prosječna testna temperatura pri nultom opterećenju
$\vartheta_{gen,test,Pn}$	°C	prosječna testna temperatura pri punom opterećenju
$\vartheta_{H,amb,j}$	°C	temperatura okolišnog zraka pojedine dionice
$\vartheta_{H,in}$	°C	temperatura polaza ogrjevnog medija u određenom vremenskom koraku, ovisna o vrsti ogrjevnog tijela i

		sustavu regulacije
$\vartheta_{H,\text{mean}}$	°C	prosječna temperatura vode u sustavu grijanja
$\vartheta_{H,\text{out}}$	°C	temperatura povrata ogrjevnog medija u određenom vremenskom koraku, ovisna o vrsti ogrjevnog tijela i sustavu regulacije
$\vartheta_{H,\text{out},\min}$	°C	minimalna temperatura potrebna za grijanje prostora
$\vartheta_{Hc,mn}$	°C	srednja temperatura vode u generatoru sustava grijanja
$\vartheta_{Hc,RT}$	°C	temperatura povratne vode u generatoru
$\vartheta_{sto,amb}$	°C	okolišna temperatura prostorije u kojoj se nalazi spremnik
$\vartheta_{sto,set,on}$	°C	postavna temperatura spremnika, temperatura na kojoj se gasi pomoćni grijач
$\vartheta_{sto,t}$	°C	konačna temperatura vode unutar spremnika
$\vartheta_{sto,tmp1}$	°C	temperatura vode unutar spremnika nakon oduzimanja energije za potrebe PTV-a i toplinske gubitke
$\vartheta_{sto,tmp2}$	°C	temperatura vode unutar spremnika nakon oduzimanja energije za potrebe grijanja prostora
$\vartheta_{W,\text{avg}}$	°C	srednja temperatura tople vode u cirkulacijskoj petlji kada petlja ne radi
$\vartheta_{W,cold}$	°C	temperatura hladne vode
$\vartheta_{W,\text{mean}}$	°C	prosječna temperatura vode u sustavu razvoda PTV-a
$\vartheta_{Wc,mn}$	°C	prosječna temperatura vode u generatoru sustava PTV-a
λ_{em}	W/mK	vodljivost materijala dijela zida u kojem je položena cijev
λ_D	W/mK	toplinska vodljivost izolacije
λ_P	W/mK	toplinska vodljivost materijala cijevi
ρ_w	kg/m³	gustoća vode
Φ_{em}	kW	nazivna snaga instaliranih ogrjevnih tijela
$\Phi_{em,out}$	kW	projektno toplinsko opterećenje
$\Phi_{sto,BU}$	kW	nazivna snaga pomoćnog grijaća
Ψ	W/mK	koeficijent toplinskih gubitaka za izolirane cijevi izvan zidova
Ψ_{em}	W/mK	koeficijent toplinskih gubitaka za izolirane cijevi unutar zidova
Ψ_j	W/mK	koeficijent toplinskih gubitaka pojedine dionice cjevovoda
Ψ_{non}	W/mK	koeficijent toplinskih gubitaka za neizolirane cijevi izvan zidova
$\Psi_{non,em}$	W/mK	koeficijent toplinskih gubitaka za neizolirane cijevi unutar zidova

SAŽETAK

U radu je napravljen odgovarajući program u Microsoft Excelu za izračun godišnje potrošnje isporučene i primarne energije potrebne za grijanje prostora i pripremu potrošne tople vode. Proračun je napravljen na temelju normi HRN EN 15316:2017 prema satnoj metodi, za karakterističan dan u mjesecu, za odabrani termotehnički sustav. Sustav se sastoji od podsustava predaje, razvoda, proizvodnje te spremnika PTV-a. Rezultati dobiveni proračunom prema novim normama uspoređeni su s rezultatima dobivenim u MGIPU Energetskom Certifikatoru, koji vrši proračune prema starijoj verziji normi. Također je napravljena i usporedba sa sustavom koji ne sadrži spremnik PTV-a, na temelju koje se mogu donijeti zaključci o utjecaju spremnika na dobivene rezultate.

Ključne riječi: skupina normi EN 15316:2017, isporučena energija, primarna energija, podsustav predaje topline zračenjem, podsustav razvoda, podsustav proizvodnje, spremnik PTV-a, MGIPU Energetski Certifikator

SUMMARY

In this thesis, an appropriate program was made in Microsoft Excel for calculating the annual consumption of delivered and primary energy needed for space heating and preparation of domestic hot water. The calculation was based on EN 15316: 2017 series of standards according to the hourly method for a characteristic day of the month, for the selected thermotechnical system. The system contains space emission and distribution sub-system, generation sub-system and storage water tank. The obtained results were compared with the results from MGIPU Energetski Certifikator, which gives results according to the older version of the standards. A comparison was also made with a system that does not contain a storage water tank. Based on the comparison, conclusion about the influence of storage tank was made.

Key words: EN 15316:2017 series of standards, delivered energy, primary energy, space emission sub-system, space distribution sub-system, generation sub-system, storage water tank, MGIPU Energetski Certifikator

1. UVOD

Norme iz skupine EN 15316:2017 daju potrebne formule za izračun potrošnje energije te prikaz energetskih svojstava sustava grijanja prostora i potrošne tople vode. Normom se standardiziraju ulazi i izlazi kako bi se postigla zajednička proračunska metoda. Daje se analiza sustava grijanja prostora te sustava PTV-a. Uspoređujući podsustave možemo vidjeti kako oni utječu na ukupna energetska svojstva i energetsku učinkovitost zgrade. Također, usporedbom gubitaka pojedinih podsustava vidimo gdje su potrebna poboljšanja te možemo uspoređivati različite sustave kako bi dobili uvid o potrošnji primarne i isporučene energije u sustav.

Odarbani termotehnički sustav obuhvaća podsustav predaje energije zračenjem, podsustav razvoda grijanja prostora i potrošne tople vode, podsustav proizvodnje te spremnik potrošne tople vode. Za odabrani sustav napravljen je proračun prema novim normama te uspoređen s rezultatima dobivenim pomoću MGIPU Energetskog Certifikatora koji koristi stariju verziju norme. Također je napravljena i usporedba sa sustavom koji ne sadrži spremnik PTV-a.

2. PRORAČUN SUSTAVA PREDAJE TOPLINE PREMA EN 15316-2 [2]

2.1. Proračun toplinske energije na ulazu u podsustav predaje

Energija koju je potrebno dovesti podsustavu predaje topline računa se prema formuli:

$$Q_{em,in} = Q_{em,out} - Q_{em,aux,rva} + Q_{em,ls} \quad [\text{kWh}] \quad (1)$$

$Q_{em,out}$ – toplinska energija na izlazu iz podsustava predaje topline, [kWh]

$Q_{em,aux,rvd}$ – vraćena pomoćna energija [kWh]

$Q_{em,ls}$ – toplinski gubici podsustava predaje [kWh]

$$Q_{em,ls} = Q_{em,out,inc} - Q_{em,out} + Q_{emb,ls} \quad [\text{kWh}] \quad (2)$$

$$Q_{em,out} = Q_{H,nd} - \sum_i Q_{ls,rvd,i} \quad [\text{kWh}] \quad (3)$$

$$Q_{em,out,inc} = Q_{H,nd,inc} - \sum_i Q_{ls,rvd,i} \quad [\text{kWh}] \quad (4)$$

$Q_{em,out,inc}$ – povećana energija na izlazu iz podsustava predaje topline uslijed povećanja unutarnje projektne temperature $\theta_{int,ini}$ za $\Delta\theta_{int,inc}$ [kWh]

$Q_{H,nd}$ – toplinska energija potrebna za grijanje [kWh], pri temperaturi $\theta_{int,ini}$

$Q_{H,nd,inc}$ – toplinska energija potrebna za grijanje [kWh], pri temperaturi $\theta_{int,inc}$

$\sum_i Q_{ls,rvd,i}$ – suma svih iskoristivih gubitaka podsustava grijanja i pripreme PTV-a [kWh]

$Q_{emb,ls}$ – toplinski gubici ugrađenih ogrjevnih tijela [kWh]

Toplinski gubici ugrađenih ogrjevnih tijela računaju se prema formuli:

$$Q_{emb,ls} = Q_{em,out,inc} \cdot \left(\frac{\Delta\theta_{emb}}{\theta_{int,inc} - \theta_{e,comb}} \right) \quad [\text{kWh}] \quad (5)$$

$$\theta_{int,inc} = \theta_{int,ini} + \Delta\theta_{int,inc} \quad [\text{°C}] \quad (6)$$

$$\Delta\theta_{int,inc} = \Delta\theta_{str} + \Delta\theta_{ctr} + \Delta\theta_{rad} + \Delta\theta_{hydr} + \Delta\theta_{roomaut} \quad [\text{K}] \quad (7)$$

gdje su:

$\theta_{int,ini}$ – početna unutarnja temperatura [°C]

$\theta_{int,inc}$ – ekvivalentna unutarnja temperatura [°C]

$\Delta\theta_{str}$ – varijacija temperature uslijed stratifikacije [K], za prostorije visine manje od 4 m vrijedi:

$$\Delta\theta_{str} = \frac{\Delta\theta_{str,1} + \Delta\theta_{str,2}}{2} \quad (8)$$

$\Delta\theta_{ctr}$ – varijacija zbog djelovanja regulacije temperature prostorije [K]

$\Delta\theta_{rad}$ – varijacija uslijed zračenja sustava predaje topline [K]

$\Delta\theta_{hydr}$ – temperaturna varijacija uslijed hidrauličkog balansiranja [K]

$\Delta\theta_{roomaut}$ – temperaturna varijacija uslijed regulacije temperature pojedinih prostorija [K]

$\Delta\theta_{emb}$ – temperaturna varijacija uslijed dodatnih gubitaka ugrađenih ogrevnih tijela [K]

$$\Delta\theta_{emb} = (\Delta\theta_{emb,1} - \Delta\theta_{emb,2})/2 \text{ [K]} \quad (9)$$

$\theta_{e,comb} = \theta_{e,avg}$ – prosječna temperatura vanjskog zraka u promatranom satu [K]

Tablica 1. Zadane vrijednosti temperturnih varijacija za prostorije visine ≤ 4 m

Utjecajni parametar		Temperturna varijacija			
		$\Delta\theta_{str}$	$\Delta\theta_{ctr,1}$ ^b	$\Delta\theta_{ctr,2}$ ^c	$\Delta\theta_{emb}$
Regulacija temperature prostora	Neregulirana, s centralnom regulacijom polazne temperature			2,5	2,5
	Regulacija preko referentne prostorije		2	1,8	
	Kontrola temperature prostorije (elektromehanička/ električna)		1,8	1,6	
	P-regulator (prije 1998.)		1,4	1,4	
	P-regulator		1,2	0,7	
	PI-regulator		1,2	0,7	
	PI-regulator (s funkcijom optimizacije)		0,9	0,5	
Nad-temperatura (za referentnu temperaturu 20 °C)	Dvocijevno grijanje i obnovljeno jednocijevno ^d	$\Delta\theta_{str,1}$	$\Delta\theta_{str,2}$		
	60 K (npr. 90/70)	1,2			
	42,5 K (npr. 70/55)	0,7			
	30 K (npr. 55/45)	0,5			
	20 K (npr. 45/35)	0,4			
	Jednocijevno grijanje (neobnovljeno)				
	60 K (npr. 90/70)	1,6			
	42,5 K (npr. 70/55)	1,2			
	Kombinacija sustava grijanja s mehaničkom ventilacijom	0,2			
	Radijatori potpomognuti ventilatorima ^e	0			
Specifični toplinski gubici kroz vanjske površine (SP-staklena površina)	Ogrjevno tijelo smješteno uz unutrašnji zid		1,3		0
	Ogrjevno tijelo smješteno uz vanjski zid:				
	-SP bez zaštite od zračenja		1,7		0
	-SP sa zaštitom od zračenja ^a		1,2		0
	-normalni vanjski zid		0,3		0

^a Zaštita od zračenja treba spriječiti 80 % gubitaka zračenja ogrjevnog tijela prema staklenoj površini izolacijom i/ili refleksijom

^b koristiti $\Delta\theta_{ctr,1}$ za necertificirane proizvode

^c koristiti $\Delta\theta_{ctr,2}$ za certificirane proizvode, alternativno $\Delta\theta_{ctr,2}$ se može izračunati za TRV sustave prema EN 215

^d jednocijevno grijanje smatra se renoviranim ako je protok reguliran dinamički ovisno o opterećenju te ako su cijevi izolirane

^e kada su sustavi grijanja unutar prostorija opremljenih mehaničkim sustavom ventilacije, imaju utjecaj na temperturnu stratifikaciju

Tablica 2. Zadane vrijednosti temperaturne varijacije uslijed hidrauličkog balansiranja

Utjecajni parametar				
Jednogjevno grijanje	$\Delta\theta_{hydr}$	Dvocjevno grijanje	$*n \leq 10$	$*n > 10$
			$\Delta\theta_{hydr}$	$\Delta\theta_{hydr}$
Neuravnoteženi sustavi	0,7	Neuravnoteženi sustavi	0,6	
Balansirano statički po krugu	0,4	Balansirano statički po pojedinom ogrjevnim tijelu (slobodno ili ugrađeno), bez grupnog uravnoteženja	0,3	0,4
Balansirano dinamički po krugu (npr. automatski regulatori protoka)	0,3	Balansirano statički po pojedinom ogrjevnim tijelu (slobodno ili ugrađeno), s grupnim uravnoteženjem (npr. balansirajući ventil)	0,2	0,3
Balansirano dinamički po krugu i kontrolirano dinamički ovisno o opterećenju (ograničenje temperature povrata)	0,2	Balansirano statički po pojedinom ogrjevnim tijelu (slobodno ili ugrađeno), s dinamički uravnoteženom mrežom (npr. regulator razlike tlaka)	0,1	0,2
Balansirano dinamički po krugu i kontrolirano dinamički ovisno o opterećenju (razlika između temperature polaza i povrata)	0,1	Balansirano dinamički po pojedinom ogrjevnim tijelu (slobodno ili ugrađeno), (npr. automatski regulatori protoka/regulatori razlike tlaka)	0	

* broj ogrjevnih tijela

2.2. Proračun pomoćne energije podsustava predaje

Za prostorije čija je visina manja od 4 m pomoćna energija računa se prema izrazu:

$$W_{em,ls,aux} = W_{fan} + W_{ctr} \quad [\text{kWh}] \quad (10)$$

W_{fan} – pomoćna energija za ventilatore [kWh]

W_{ctr} – pomoćna energija sustava regulacije [kWh]

Pomoćna energija za ventilatore računa se prema:

$$W_{fan} = \sum \frac{P_{fan} \cdot n_{fan} \cdot t_{fan}}{1000} \quad [\text{kWh}] \quad (11)$$

P_{fan} – nazivna potrošnja električne energije ventilatora [kW], Tablica 3.

n_{fan} – broj ventilatora [-]

t_{fan} – vrijeme rada ventilatora u promatranom periodu [h]

Pomoćna energija sustava regulacije:

$$W_{ctr} = \frac{P_{ctr} \cdot t_{ctr}}{1000} \quad [\text{kWh}] \quad (12)$$

P_{ctr} – električna snaga sustava regulacije [kW], Tablica 4

t_{ctr} – vrijeme rada regulacijskog sustava u promatranom periodu [h]

Tablica 3. Nazivne vrijednosti električne snage ventilatora

Utjecajni parametar		Snaga [W]
Ventilator P_{fan}	Ventilokonvektor	10
	Električno grijan ventilokonvektor	10
	Termoakumulacijsko grijanje s dinamičkim odavanjem topline	12
	Termoakumulacijsko grijanje s kontinuiranim odavanjem topline	12

Tablica 4. Vrijednosti električne snage sustava regulacije

Utjecajni parametri		Snaga [W]
Sustav regulacije s pomoćnom energijom P_{ctr}	Električni sustav regulacije s elektromotornim pogonom	0,1 (po pogonskom elementu)
	Električni sustav regulacije s elektrotoplinskim pogonom	1 (po pogonskom elementu)
	Električni sustav regulacije s elektromagnetskim pogonom	1 (po pogonskom elementu)

Vraćena pomoćna energija u sustav:

$$Q_{em,aux,rvd} = 0,75 \cdot W_{fan} \quad [\text{kWh}] \quad (13)$$

Iskoristivi toplinski gubici pomoćnih uređaja:

$$Q_{em,aux,rbl} = 0,25 \cdot W_{fan} + W_{ctr} \quad [\text{kWh}] \quad (14)$$

Iskoristivi toplinski gubici podsustava predaje:

$$Q_{em,rbl} = 0 \quad [\text{kWh}] \quad (15)$$

3. PRORAČUN SUSTAVA RAZVODA PREMA EN 15316-3 [3]

3.1. Proračun srednje temperature

3.1.1. Proračun srednje temperature ogrjevnog medija

Formula za proračun srednje temperature medija prema [1]:

$$\theta_m = \Delta\theta_{des} \cdot (\beta_{H,dis})^{\frac{1}{n}} + \theta_i \quad [\text{°C}] \quad (16)$$

$$\Delta\theta_{des} = \frac{\theta_{s,des} + \theta_{r,des}}{2} - \theta_i \quad [\text{°C}] \quad (17)$$

gdje su:

$\Delta\theta_{des}$ – razlika između prosječne temperature medija i temperature prostorije [°C]

$\theta_{s,des}$ – projektna temperatura polaza ogrjevnog medija u sustav predaje [°C]

$\theta_{r,des}$ – projektna temperatura povrata ogrjevnog medija u sustav predaje [°C]

θ_i – temperatura prostorije [°C]

n – eksponent sustava predaje [-], Tablica 5.

$\beta_{H,dis}$ – faktor opterećenja [-]

Faktor opterećenja dan je izrazom:

$$\beta_{H,dis} = \frac{Q_{H,dis,out}}{\Phi_{em} \cdot t_{uk}} \quad [-] \quad (18)$$

$Q_{H,dis,out}$ – izlazna toplina iz podsustava razvoda grijanja [kWh]

Φ_{em} – nazivna snaga instaliranih ogrjevnih tijela [kW]

t_{uk} – broj sati u promatranom periodu [h]

Tablica 5. Vrijednosti eksponenata toplinskog učinka ogrjevnih tijela [1]

Tip ogrjevnog tijela	n
Radijator	1,3
Konvektor	1,4
Podno grijanje	1,13
Ventilokonvektor	1

3.1.2. Srednja temperatura vode sustava razvoda PTV-a

Srednja temperatura vode sustava razvoda PTV-a računa se prema izrazu:

$$\vartheta_{W,mean} = \vartheta_W - \frac{\Delta\vartheta_W}{2} \quad [\text{°C}] \quad (19)$$

ϑ_W – temperatuta tople vode u vremenskom koraku [°C], projektna vrijednost ili zadana vrijednost 60 °C

$\Delta\vartheta_W$ – temperaturna razlika između temperature tople vode na izlazu iz slavine i povratne temperature vode u cirkulacijsku petlju u vremenskom koraku [°C], projektna vrijednost ili zadana vrijednost od 5 °C

3.2. Proračun koeficijenata toplinskih gubitaka

Koeficijent toplinskih gubitaka za izolirane cijevi izvan zidova:

$$\Psi = \frac{\pi}{\left(\frac{1}{2 \cdot \lambda_D} \cdot \ln \frac{d_a}{d_i} + \frac{1}{h_a \cdot d_a} \right)} \quad [\text{W/mK}] \quad (20)$$

Koeficijent toplinskih gubitaka za izolirane cijevi unutar zidova:

$$\Psi_{em} = \frac{\pi}{\frac{1}{2} \left[\frac{1}{\lambda_D} \cdot \ln \frac{d_a}{d_i} + \frac{1}{\lambda_{em}} \cdot \ln \frac{4 \cdot z}{d_a} \right]} \quad [\text{W/mK}] \quad (21)$$

Koeficijent toplinskih gubitaka za neizolirane cijevi unutar zidova:

$$\Psi_{non,em} = \frac{\pi}{\frac{1}{2 \cdot \lambda_P} \cdot \ln \frac{d_{p,a}}{d_{p,i}}} \quad [\text{W/mK}] \quad (22)$$

Koeficijent toplinskih gubitaka za neizolirane cijevi izvan zidova:

$$\Psi_{non} = \frac{\pi}{\frac{1}{2 \cdot \lambda_P} \cdot \ln \frac{d_{p,a}}{d_{p,i}} + \frac{1}{h_a \cdot d_{p,a}}} \quad [\text{W/mK}] \quad (23)$$

gdje su:

d_i – unutarnji promjer cijevi (bez izolacije) [m]

d_a – vanjski promjer cijevi (s izolacijom) [m]

λ_D – toplinska vodljivost izolacije [W/mK]

h_a – koeficijent prijelaza topline na vanjskoj strani cijevi [W/m²K]

$h_a = 8 \text{ W/m}^2\text{K}$ za izolirane cijevi

$h_a = 14 \text{ W/m}^2\text{K}$ za neizolirane cijevi

λ_{em} – toplinska vodljivost materijala dijela zida u kojem je položena cijev [W/mK]

z – dubina ugradnje cijevi unutar zida [m]

λ_P – toplinska vodljivost materijala cijevi [W/mK]

$d_{p,i}$ – unutarnji promjer cijevi [m]

$d_{p,a}$ – vanjski promjer cijevi [m]

Ako nam nisu poznati podaci potrebni za proračun, koeficijenti toplinskih gubitaka mogu se odabratи iz Tablica 6. U tablici su dane tipične vrijednosti koeficijenata, ovisno o razdoblju kada je zgrada izgrađena i duljinama cjevovoda. Duljine cjevovoda definirane su u poglavljу 3.3.

Tablica 6. Vrijednosti koeficijenata toplinskih gubitaka cjevovoda

Starost zgrade	Ψ [W/mK]		
	Dio Lv	Dio LS	Dio LA
Izolirane cijevi			
Nakon 1995. - pretpostavka da je debljina izolacije približno jednaka vanjskom promjeru cijevi	0,2	0,3	0,3
Između 1980. i 1995.- pretpostavka da je debljina izolacije približno jednaka polovici vanjskog promjera cijevi	0,3	0,4	0,4
Do 1980.	0,4	0,4	0,4
Neizolirane cijevi izvan zidova			
$A \leq 200 \text{ m}^2$	1	1	1
$200 \text{ m}^2 < A \leq 500 \text{ m}^2$	2	2	2
$A > 500 \text{ m}^2$	3	3	3
Neizolirane cijevi unutar vanjskih zidova		ukupno/iskoristivo ^a	
Neizoliran vanjski zid		1,35/0,8	
Vanjski zid izoliran izvana		1/0,9	
Vanjski zid bez izolacije s niskim koeficijentom prolaska topline ($U=0,4 \text{ W/m}^2\text{K}$)		0,75/0,55	

3.3. Toplinski gubici

3.3.1. Proračun toplinskih gubitaka razvoda podsustava grijanja

Toplinski gubitak razvoda grijanja računa se prema formuli:

$$Q_{H,dis,ls} = \frac{1}{1000} \sum_j \Psi_j \cdot (\vartheta_{H,\text{mean}} - \vartheta_{H,\text{amb},j}) \cdot (L + L_{equi})_{H,j} \cdot t_{H,uk} \quad (24)$$

gdje su:

Ψ_j – koeficijent toplinskih gubitaka pojedine dionice cjevovoda [W/mK], prema jednadžbama

(20)-(23)

$\vartheta_{H,\text{mean}} = \theta_m$ – srednja temperatura ogrjevnog medija [$^{\circ}\text{C}$]

$\vartheta_{H,\text{amb},j}$ – temperatura okolišnog zraka pojedine dionice [$^{\circ}\text{C}$]

L_j – duljina pojedine dionice cjevovoda u zoni [m], iz projektne dokumentacije, energetskog

pregleda ili aproksimacija prema Tablica 7. i Tablica 8.

L_{equi} – ekvivalentna duljina ventila [m]

$t_{H,\text{uk}}$ – ukupno vrijeme rada sustava za grijanje u promatranom periodu

$$t_{H,\text{uk}} = t_d \cdot d_{\text{use},tj} / 7 \cdot L_{H,m,j} \quad \text{kod mjesecne metode}$$

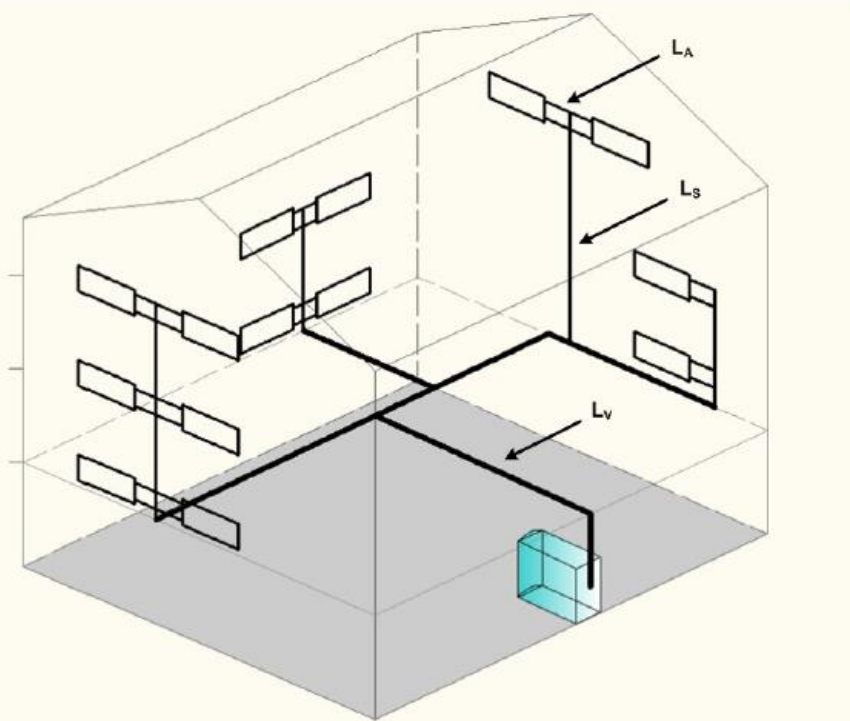
$$t_{H,\text{uk}} = 1 \text{ h} \quad \text{kod satne metode}$$

t_d – dnevni broj sati rada u sustavu [h/dan]

$d_{\text{use},tj}$ – broj dana u tjednu kada sustav radi [d/tj]

$L_{H,m,j}$ – broj dana kada ima potrebe za grijanjem u pojedinom mjesecu [d/mj]

Proračun je potrebno provesti za svaku dionicu, kroz grijani i kroz negrijani prostor.



Slika 1. Oznake cjevovoda u sustavu razvoda ogrjevnog medija [1]

Duljine cjevovoda prema prethonoj slici definirane su kao:

L_V – cjevovodi između generatora i vertikala [m]

L_S – cjevovodi vertikala [m]

L_A – spojni cjevovodi s ogrjevnim tijelima [m]

Tablica 7. Aproksimacija duljina cjevovoda za dvocijevni sustav grijanja

Vrijednost	Dio Lv (od generatora do vertikala)	Dio Ls (vertikale)	Dio La (spojni cjevovodi)
Prosječna okolišna temperatura, $\vartheta_{H,amb,j}$ [°C]	13 za negrijani prostor, 20 za grijani	20	20
Duljina cjevovoda ako su u vanjskim zidovima, L_j [°C]	$2 \cdot L_L + 0,01625 \cdot L_L \cdot L_W^2$	$0,025 \cdot L_L \cdot L_W \cdot H_{lev} \cdot N_{lev}$	$0,55 \cdot L_L \cdot L_W \cdot N_{lev}$
Duljina cjevovoda ako su unutarnjim zidovima, L_j [°C]	$2 \cdot L_L + 0,0325 \cdot L_L \cdot L_W + 6$	$0,025 \cdot L_L \cdot L_W \cdot H_{lev} \cdot N_{lev}$	$0,55 \cdot L_L \cdot L_W \cdot N_{lev}$

Tablica 8. Aproksimacija duljina cjevovoda za jednocijevni sustav grijanja

Jednocijevni sustav	Dio Lv (od generatora do vertikala)	Dio Ls (vertikale)	Dio La (spojni cjevovodi)
Duljina cjevovoda ako su unutarnjim zidovima, L_j [°C]	$2 \cdot L_L + 0,0325 \cdot L_L \cdot L_W + 6$	$0,025 \cdot L_L \cdot L_W \cdot H_{lev} \cdot N_{lev} + 2 \cdot (L_L + L_W) \cdot N_{lev}$	$0,1 \cdot L_L \cdot L_W \cdot N_{lev}$

L_L – maksimalna razvijena duljina zgrade ili zone [m]

L_W – maksimalna razvijena širina zgrade ili zone [m]

H_{lev} – visina kata [m]

N_{lev} – broj etaža

Opaska:

- Navedene veličine odnose se samo na dijelove zgrade ili zone koje pokriva jedan krug grijanja
- Posljednja etaža koja nema cjevovode vertikala ne ubraja se u N_{lev}
- Kod prizemnice se uzima $N_{lev} = 1$ i $H_{lev} = 0,1$ m

3.3.2. Proračun toplinskih gubitaka razvoda PTV-a

3.3.2.1. Proračun toplinskih gubitaka za vrijeme rada cirkulacijske petlje

Toplinski gubici cirkulacijske petlje računaju se prema izrazu:

$$Q_{W,dis,ts} = \frac{1}{1000} \sum_j \Psi_j \cdot (\vartheta_{W,mean} - \vartheta_{W,amb,j}) \cdot (L + L_{equi})_{W,j} \cdot t_{W,uk} \quad [\text{kWh}] \quad (25)$$

gdje su:

Ψ_j – koeficijent toplinskih gubitaka pojedine dionice unutar petlje [W/mK],

$\vartheta_{W,mean}$ – prosječna temperatura vode u sustavu razvoda PTV-a [°C]

$\vartheta_{W,amb,j}$ – temperatura okolišnog zraka pojedine dionice [°C]

$\vartheta_{W,amb,j} = 22$ °C izvan sezone grijanja

$\vartheta_{W,amb,j} = 20$ °C, u sezoni grijanja, za grijani prostor

$\vartheta_{W,amb,j} = 13$ °C u sezoni grijanja, za negrijani prostor

$L_{W,j}$ – duljina dionice petlje [m], iz energetskog pregleda, projektne dokumentacije ili prema

Tablica 9.

L_{equi} – ekvivalentna duljina ventila [m]

$t_{W,uk}$ – broj sati u promatranom periodu [h]

$t_{W,uk} = t_W \cdot d_{use,tj} / 7 \cdot d_{mj}$ kod mjesecne metode

$t_{W,uk} = 1$ h kod satne metode

t_W – dnevni broj sati rada cirkulacijske pumpe [h/dan]

$d_{use,tj}$ – broj dana korištenja sustava u tjednu [d/tj]

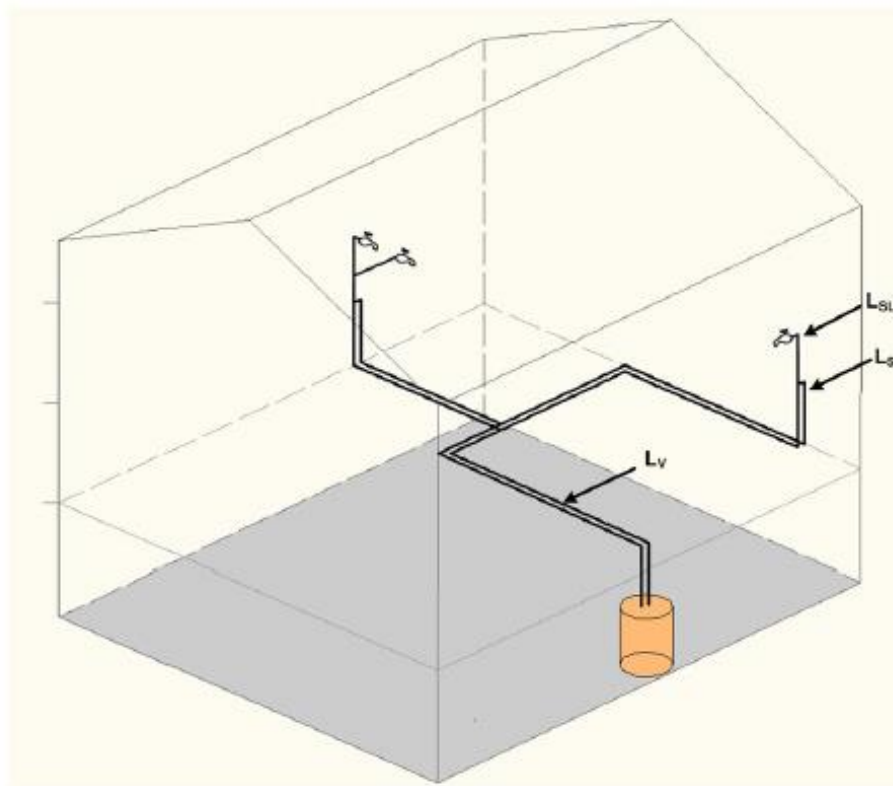
d_{mj} – broj dana u mjesecu [d]

Oznake cjevovoda razvoda PTV-a prema Slika 2.:

L_V – cjevovodi između generatora i vertikala [m]

L_S – cjevovodi vertikala [m]

L_{SL} – individualni spojni cjevovodi izvan cirkulacijske petlje [m]



Slika 2. Podjela cjevovoda sustava razvoda PTV-a [1]

Tablica 9. Aproksimacija duljine cjevovoda sustava razvoda PTV-a

Parametar	Dio L_V (od generatora do vertikalna)	Dio L_S (vertikale)	Dio L_{SL} (spojni cjevovodi)
Okolišna temperatura izvan sezone grijanja, $\vartheta_{W,amb,j}$ [°C]		22	
Okolišna temperatura u sezoni grijanja, $\vartheta_{W,amb,j}$ [°C]	13 kod negrijanog prostora, 20 kod grijanog	20 za grijani prostor	
Duljina cirkulacijske petlje, $L_{W,j}$ [m]	$2 \cdot L_L + 0,0125 \cdot L_L \cdot L_W$	$0,075 \cdot L_L \cdot L_W \cdot N_{lev} \cdot H_{lev}$	/
Duljina glavnog razvodnog cjevovoda izvan cirkulacijske petlje, $L_{W,j}$ [m]	$L_L + 0,0625 \cdot L_L \cdot L_W$	$0,038 \cdot L_L \cdot L_W \cdot N_{lev} \cdot H_{lev}$	/
Duljina spojnih cjevovoda u prostorijama sa zajedničkim zidom, $L_{W,j}$ [m]	/	/	$0,05 \cdot L_L \cdot L_W \cdot N_{lev}$
Duljina individualnih cjevovoda u svim ostalim slučajevima, $L_{W,j}$ [m]	/	/	$0,075 \cdot L_L \cdot L_W \cdot N_{lev}$

3.3.2.2. Proračun toplinskih gubitaka cirkulacijske petlje tijekom prekida rada

Toplinsku gubici cirkulacijske petlje – prekid rada, računaju se prema:

$$Q_{W,dis,nom} = \frac{1}{1000} \sum_j \Psi_j \cdot (\vartheta_{W,avg} - \vartheta_{W,amb,j}) \cdot (L + L_{equi})_{W,j} \cdot t_{W,uuk} \quad [\text{kWh}] \quad (26)$$

$\vartheta_{W,avg}$ – srednja temperatura tople vode u cirkulacijskoj petlji kada petlja ne radi

3.3.2.3. Proračun ukupnih toplinskih gubitaka sustava razvoda

Ukupni toplinski gubici sustava PTV-a s cirkulacijskom petljom računaju se prema:

$$Q_{W,dis,ls,total} = Q_{W,dis,ls} + Q_{W,dis,nom} \quad [\text{kWh}] \quad (27)$$

Opaska:

Za računanje toplinskih gubitaka cirkulacijske petlje, korištena je aproksimacijska metoda, pošto nisu bili poznati podaci potrebni za izračun svih veličina.

3.4. Proračun iskoristivih toplinskih gubitaka

Proračun iskoristivih toplinskih gubitaka sustava razvoda grijanja:

$$Q_{H,dis,rbl} = k_1 \cdot k_2 \cdot Q_{H,dis,ls} \quad [\text{kWh}] \quad (28)$$

Proračun iskoristivih gubitaka sustava razvoda PTV-a:

$$Q_{W,dis,rbl} = k_1 \cdot k_2 \cdot Q_{W,dis,ls,total} \quad [\text{kWh}] \quad (29)$$

k_1 – udio iskoristivih gubitaka u ukupnim za određenu dionicu [-], ovisno o vrsti prostora

$k_1 = 1$ odnosno 100% ukupnih gubitaka ako dionica prolazi kroz grijani prostor

$k_1 = 0,5$ odnosno 50% ukupnih gubitaka ako prolazi kroz negrijani prostor koji graniči s grijanim

$k_1 = 0$ odnosno 0% ukupnih gubitaka ako dionica prolazi kroz negrijani prostor koji ne graniči s grijanim

k_2 – udio iskoristivih toplinskih gubitaka u ukupnim za određenu dionicu [-], ovisno o načinu ugradnje

$k_2 = 1$ odnosno 100 % ukupnih gubitaka ako dionica prolazi kroz unutarnji zid ili izvan zida

$k_2 = 0,9$ odnosno 90 % ukupnih gubitaka ako prolazi kroz vanjski zid izoliran izvana

$k_2 = 0,6$ odnosno 60 % ukupnih gubitaka ako prolazi kroz vanjski neizolirani zid

3.5. Proračun pomoćne energije sustava razvoda

U narednim formulama oznaka H vezana je za sustav grijanja, a oznaka W za sustav PTV-a.

Projektni pad tlaka sustava razvoda računa se prema formuli:

$$\Delta p_{H,des} = (1 + f_{comp}) \cdot R_{H,max} \cdot L_{H,max} + \Delta p_{H,add} \quad [\text{kPa}] \quad (30)$$

$$\Delta p_{W,des} = (1 + f_{comp}) \cdot R_{W,max} \cdot L_{W,max} + \Delta p_{W,add} \quad [\text{kPa}] \quad (31)$$

gdje su:

f_{comp} – faktor otpora komponenata sustava razvoda [-]

$f_{comp} = 0,3$ za uobičajene razvode

$f_{comp} = 0,4$ za razvode s puno promjena smjera

$R_{HW,max}$ – pad tlaka po duljini cjevovoda [kPa/m]

$L_{H,max}$ – maksimalna udaljenost između generatora i najudaljenijeg ogrjevnog tijela [m]

$L_{W,max}$ – najveća udaljenost između generatora ili spremnika PTV-a do najudaljenije slavine [m]

$\Delta p_{HW,add}$ – dodatni pad tlaka komponenata sustava [kPa], Tablica 10.

Tablica 10. Dodatni pad tlaka sustava razvoda

Vrsta ogrjevnog tijela	$\Delta p_{HW,add}$ [kPa]
Radijator	2
Podno grijanje	4,5
Kalorimetar	10
Tip generatora	
Sa sadržajem vode $> 0,15 \text{ l/kW}$	1
Sa sadržajem vode $\leq 0,15$ [l/kW]	$20 \cdot \dot{V}_{des}^2$
	80

Maksimalna udaljenost od generatora do najudaljenijeg ogrjevnog tijela dana je izrazom:

$$L_{H,max} = 2 \cdot \left(L_L + \frac{L_W}{2} + N_{lev} \cdot H_{lev} + l_c \right) \quad [\text{m}] \quad (32)$$

$l_c = 10 \text{ m}$ za dvocijevni sustav

$$l_c = L_L + L_W \quad [\text{m}]$$

Najveća udaljenost između generatora ili spremnika PTV-a do najudaljenije slavine računa se prema:

$$L_{W,max} = 2 \cdot L_L + 2,5 + N_{lev} \cdot H_{lev} \quad [\text{m}] \quad (33)$$

Projektna hidraulička snaga cirkulacijske pumpe računa se prema izrazu:

$$P_{H,hydr,des} = \frac{\Delta p_{H,des} \cdot \dot{V}_{H,des}}{3600} \quad [\text{kW}] \quad (34)$$

$$P_{W,hydr,des} = \frac{\Delta p_{W,des} \cdot \dot{V}_{W,des}}{3600} \quad [\text{kW}] \quad (35)$$

Projektni volumni protok računa se prema:

Sustav grijanja prostora

$$\dot{V}_{H,des} = \frac{\Phi_{em,out}}{1,15 \cdot \Delta \theta_{dis,des}} \quad [\text{m}^3/\text{h}] \quad (36)$$

Cirkulacijska petlja

$$\dot{V}_{W,des} = \frac{Q_{W,dis,ls} + Q_{W,dis,nom}}{1,15 \cdot \Delta\theta_{W,gen} \cdot t_i} \quad [\text{m}^3/\text{h}] \quad (37)$$

Projektna temperaturna razlika je:

$$\Delta\theta_{dis,des} = \theta_{s,des} - \theta_{r,des} \quad [\text{K}] \quad (38)$$

gdje su:

$\Phi_{em,out}$ – projektno toplinsko opterećenje [kW], ako nije poznato jednako je nazivnoj snazi instaliranih ogrjevnih tijela, odnosno $\Phi_{em,out} = \Phi_{Hemn}$

$Q_{W,dis,ls}$ – toplinski gubici cirkulacijske petlje dok je sustav u pogonu [kW]

$Q_{W,dis,nom}$ – toplinski gubici cirkulacijske petlje kada sustav ne radi [kW]

$\Delta\theta_{W,gen}$ – maksimalna temperaturna razlika kroz generator [K], $\Delta\theta_{W,gen} = 5 \text{ K}$

Potreba za hidrauličkom energijom računa se prema izrazu:

Sustav grijanja prostora

$$W_{H,dis,hydr} = P_{H,hydr,des} \cdot \beta_{H,dis} \cdot t_{H,uk} \cdot f_{HB} \quad [\text{kWh}] \quad (39)$$

Cirkulacijska petlja

$$W_{W,dis,hydr} = P_{W,hydr,des} \cdot t_{W,uk} \cdot f_{HB} \quad [\text{kWh}] \quad (40)$$

$\beta_{H,dis}$ – faktora opterećenja, prema jednadžbi..

$t_{H,uk}$ – vrijeme rada u promatranom periodu

$t_{W,uk}$ – vrijeme rada petlje u promatranom periodu

f_{HB} – korekcijski faktor

$f_{HB} = 1$ za hidraulički uravnotežene sustave

$f_{HB} = 1,15$ za hidraulički neuravnotežene sustave

Faktoru učinkovitosti pumpe ovisi o vrsti pumpe i definiran je jednim od sljedećim izraza:

Za cirkulacijske pumpe definiran je kao:

$$f_{H,e} = \frac{P_{H,ref}}{P_{H,hydr,des}} \quad [-] \quad (41)$$

$$f_{W,e} = \frac{P_{W,ref}}{P_{W,hydr,des}} \quad [-] \quad (42)$$

Gdje se referentna snaga pumpe $P_{HW,ref}$ računa prema:

$$P_{H,ref} = \left(1,7 \cdot P_{H,hydr,des} + 17 \cdot (1 - e^{-0,3 \cdot P_{H,hydr,des}}) \right) \quad [\text{kW}] \quad (43)$$

$$P_{W,ref} = \left(1,7 \cdot P_{W,hydr,des} + 17 \cdot (1 - e^{-0,3 \cdot P_{W,hydr,des}}) \right) \quad [\text{kW}] \quad (44)$$

I vrijedi za $0,001 < P_{HW,hydr,des} < 2,5 \text{ kW}$

Napomena:

U izrazu za proračun referentne snage prema normi

$$P_{HW,ref} = \left(1,7 \cdot P_{HW,hydr,des} + 17 \cdot (1 - e^{-0,3 \cdot P_{HW,hydr,des}}) \right) \cdot 10^{-3} \quad [\text{kW}]$$

nalazi se greška. Izraz nije potrebno dijeliti sa 1000 jer je $P_{HW,hydr,des}$ već izražena u kW.

Faktor učinkovitosti za sve ostale pumpe definiran je izrazom:

$$f_{H,e} = \left(1,25 + \left(\frac{0,2}{P_{H,hydr,des}} \right)^{0,5} \right) \cdot b \quad [-] \quad (45)$$

$$f_{W,e} = \left(1,25 + \left(\frac{0,2}{P_{W,hydr,des}} \right)^{0,5} \right) \cdot b \quad [-] \quad (46)$$

$b = 1$ za pumpe koje rade u projektnoj točki

$b = 2$ za pumpe koje ne rade u projektnoj točki

Za postojeće instalacije, gdje nam je poznata snaga pumpe $P_{el,pmp}$, faktor učinkovitosti može se aproksimirati izrazom:

$$f_{H,e} = \frac{P_{el,pmp}}{P_{H,hydr,des}} \quad [-] \quad (47)$$

$$f_{W,e} = \frac{P_{el,pmp}}{P_{W,hydr,des}} \quad [-] \quad (48)$$

$P_{el,pmp}$ – nazivna snaga postojeće pumpe [kW], pri broju okretaja na kojem radi

Faktor energetskog utroška pumpe računa se prema:

$$\varepsilon_{H,dis} = f_{H,e} \cdot (C_{P1} + C_{P2} \cdot \beta_{H,dis}^{-1}) \cdot \frac{EEI}{0,25} \quad [-] \quad (49)$$

$$\varepsilon_{W,dis} = f_{W,e} \cdot (C_{P1} + C_{P2} \cdot \beta_{W,dis}^{-1}) \cdot \frac{EEI}{0,25} \quad [-] \quad (50)$$

gdje su:

$f_{HW,e}$ – faktor učinkovitosti [-]

C_{P1}, C_{P2} – konstante pumpe ovisne o vrsti regulacije [-],

EEI – oznaka energetske učinkovitosti [-]

$EEI = 0,23$ standardna vrijednost za cirkulacijske pumpe

$EEI = 0,25$ – za sve ostale pumpe

Tablica 11. Konstante pumpi sustava razvoda grijanja prostora

Regulacija pumpe	C_{P1}	C_{P2}
Neregulirana	0,25	0,75
Konstantan Δp	0,75	0,25
Promjenjiv Δp	0,9	0,1

Tablica 12. Konstante pumpi sustava razvoda PTV-a

Regulacija pumpe	C_{P1}	C_{P2}
Neregulirana	0,25	0,94
Regulirana	0,5	0,63

Pomoćna energija

$$W_{H,dis,aux} = W_{H,dis,hydr} \cdot \varepsilon_{H,dis} \quad [\text{kWh}] \quad (51)$$

$$W_{W,dis,aux} = W_{W,dis,hydr} \cdot \varepsilon_{W,dis} \quad [\text{kWh}] \quad (52)$$

Iskoristiva pomoćna energija jednaka je:

$$Q_{H,dis,aux,rbl} = f_{aux,rbl} \cdot W_{H,dis,aux} \quad [\text{kWh}] \quad (53)$$

$$Q_{W,dis,aux,rbl} = f_{aux,rbl} \cdot W_{W,dis,aux} \quad [\text{kWh}] \quad (54)$$

gdje su:

$f_{aux,rbl}$ – faktor iskoristivosti pomoćne energije u sustavima razvoda [-]

$f_{aux,rbl} = 0,1$ za izolirane pumpe

$f_{aux,rbl} = 0,25$ za neizolirane pumpe

Vraćena pomoćna energija sustava razvoda:

$$Q_{H,dis,aux,rvd} = (1 - f_{aux,rbl}) \cdot W_{H,dis,aux} \quad [\text{kWh}] \quad (55)$$

$$Q_{W,dis,aux,rvd} = (1 - f_{aux,rbl}) \cdot W_{W,dis,aux} \quad [\text{kWh}] \quad (56)$$

4. PRORAČUN SUSTAVA PROIZVODNJE PREMA EN 15316-4-1 [4]

Izlazna toplinska energija iz kotla jednaka je sumi ulaznih toplina u sustav distribucije grijanja i PTV-a:

$$Q_{gen,out} = f_{ctr,ls} \cdot \sum_i Q_{H,dis,in,i} + \sum_j Q_{W,dis,in,j} \quad [\text{kWh}] \quad (57)$$

$Q_{gen,out}$ – izlazna toplina iz generatora [kWh]

$Q_{H,dis,in}$ – ulazna energija u sustav razvoda grijanja [kWh]

$Q_{W,dis,in}$ – ulazna energija u sustav razvoda PTV-a [kWh]

$f_{ctr,ls}$ – kontrolni faktor [-]

$f_{ctr,ls} = 1$ za podne kotlove, regulacija prema vanjskoj temperaturi

$f_{ctr,ls} = 1,03$ za zidne kotlove, regulacija prema vanjskoj temperaturi

$f_{ctr,ls} = 1,06$ za zidne kotlove, regulacija prema unutrašnjoj temperaturi

Toplinska energija koju je potrebno isporučiti sustavu grijanja:

$$Q_{gen,out} = f_{ctr,ls} \cdot \sum_i Q_{H,dis,in,i} \quad [\text{kWh}] \quad (58)$$

Toplinska energija koju je potrebno isporučiti sustavu PTV-a:

$$Q_{gen,out} = \sum_j Q_{W,dis,in,j} \quad [\text{kWh}] \quad (59)$$

Vrijeme upotrebe kotla pojedinog sustava, ako se kotao koristi za grijanje prostora i PTV-a:

$$t_H = \frac{Q_{H,gen,out}}{P_n} \quad [\text{h}] \quad (60)$$

$$t_W = \frac{Q_{W,gen,out}}{P_n} \quad [\text{h}] \quad (61)$$

P_n – nazivna snaga kotla [kW]

Tablica 13. Vrijeme rada pojedine usluge (grijanje prostora ili PTV-a)

Upotreba generatora	Vrijeme upotrebe za PTV	Vrijeme upotrebe za grijanje
	$t_{W,use}$	$t_{H,use}$
Grijanje+PTV	$\min(t_{ci}; t_W)$	$t_{ci} - t_{W,use}$
Grijanje	0	t_{ci}
PTV	t_{ci}	0
ne radi	0	0

Faktor opterećenja ovisno o razdoblju korištenja pojedine od usluga:

$$\beta_H = \frac{Q_{H,gen,out}}{P_n \cdot t_{H,use}} \quad [-] \quad (62)$$

$$\beta_W = \frac{Q_{W,gen,out}}{P_n \cdot t_{W,use}} \quad [-] \quad (63)$$

Prosječna temperatura vode za grijanje i za PTV:

$$\vartheta_{Hc,mn} = \max(\vartheta_{gen,min}; \vartheta_{H,mean}) \quad [\text{°C}] \quad (64)$$

$$\vartheta_{Wc,mn} = \max(\vartheta_{gen,min}; \vartheta_{W,mean}) \quad [\text{°C}] \quad (65)$$

$\vartheta_{gen,min}$ – minimalna radna temperatura kotla [°C]

$\vartheta_{gen,min} = 50 \text{ °C}$ za standardne kotlove

$\vartheta_{gen,min} = 35 \text{ °C}$ za niskotemperaturne kotlove

$\vartheta_{gen,min} = 20 \text{ °C}$ za kondenzacijske kotlove

$\vartheta_{H,mean}$ – srednja temperatura vode u sustavu grijanja [°C], $\vartheta_{H,mean} = \theta_m$

$\vartheta_{W,mean}$ – srednja temperatura vode u sustavu razvoda PTV-a [°C]

4.1. Proračun učinkovitosti i toplinskih gubitaka pri specifičnom opterećenju

4.1.1. Proračun za puno opterećenje

Učinkovitost generatora pri punom opterećenju računa se prema:

$$\eta_{gen,Pn} = \frac{c_1 + c_2 \cdot \log P_n}{100} \quad [-] \quad (66)$$

c_1, c_2 – parametri za izračun učinkovitosti kotla [-]

Korigirana učinkovitost:

$$\eta_{gen,Pn,corr} = \eta_{gen,Pn} + \frac{f_{corr,Pn}}{100} \cdot (\vartheta_{gen,test,Pn} - \vartheta_{Hc,mn}) \quad [-] \quad (67)$$

$$\eta_{gen,Pn,corr} = \eta_{gen,Pn} + \frac{f_{corr,Pn}}{100} \cdot (\vartheta_{gen,test,Pn} - \vartheta_{Wc,mn}) \quad [-] \quad (68)$$

$f_{corr,Pn}$ – korekcijski faktor pri punom opterećenju [%/°C]

$\vartheta_{gen,test,Pn}$ – testna prosječna temperatura pri punom opterećenju [°C]

Korigirana vrijednost toplinskog gubitka generatora

$$P_{H,gen,ls,Pn,corr} = \frac{f_{H_s/H_i} - \eta_{gen,Pn,corr}}{\eta_{gen,Pn,corr}} \cdot P_n \quad [\text{kW}] \quad (69)$$

$$P_{W,gen,ls,Pn,corr} = \frac{f_{H_s/H_i} - \eta_{gen,Pn,corr}}{\eta_{gen,Pn,corr}} \cdot P_n \quad [\text{kW}] \quad (70)$$

f_{H_s/H_i} – faktor konverzije goriva

Tablica 14. Faktori konverzije goriva

Izvor energije	f_{H_s/H_i}
Gorivo	Lož ulje
	1,06
	Prirodni plin
	1,11
	Tekući naftni plin
	1,09
Antracit	
	1,04
Lignit	
	1,07
Drvo	
	1,08
Električna energija	Mješavina izvora električne energije
	1

4.1.2. Proračun za djelomično opterećenje

Snaga generatora pri djelomičnom opterećenju iznosi:

$$P_{int} = \beta_{int} \cdot P_n \quad [\text{kW}] \quad (71)$$

β_{int} – faktor djelomičnog opterećenja

Učinkovitost generatora računa se prema izrazu:

$$\eta_{gen,Pint} = \frac{c_3 + c_4 \cdot \log P_n}{100} \quad [-] \quad (72)$$

c_3, c_4 – parametri za proračun učinkovitosti generatora [-]

Korigirana učinkovitost:

$$\eta_{gen,Pint,corr} = \eta_{gen,Pint} + \frac{f_{corr,Pint}}{100} \cdot (\vartheta_{gen,test,Pint} - \vartheta_{Hc,mn}) \quad [\text{kW}] \quad (73)$$

$$\eta_{gen,Pint,corr} = \eta_{gen,Pint} + \frac{f_{corr,Pint}}{100} \cdot (\vartheta_{gen,test,Pint} - \vartheta_{Wc,mn}) \quad [\text{kW}] \quad (74)$$

$f_{corr,Pint}$ – korekcijski faktor pri djelomičnom opterećenju [%/ $^{\circ}\text{C}$],

$\vartheta_{gen,test,Pint}$ – prosječna testna temperatura pri djelomičnom opterećenju [$^{\circ}\text{C}$],

Korigirani toplinski gubici generatora:

$$P_{H,gen,ls,Pint,corr} = \frac{f_{H_s/H_i} - \eta_{gen,Pint,corr}}{\eta_{gen,Pint,corr}} \cdot P_{int} \quad [\text{kW}] \quad (75)$$

$$P_{W,gen,ls,Pint,corr} = \frac{f_{H_s/H_i} - \eta_{gen,Pint,corr}}{\eta_{gen,Pint,corr}} \cdot P_{int} \quad [\text{kW}] \quad (76)$$

4.1.3. Proračun za stanje pripravnosti generatora

Toplinski gubici u stanju pripravnosti računaju se prema:

$$f_{gen,ls,P0} = \frac{c_5 + P_n^{c_6}}{100} \quad [-] \quad (77)$$

c_5, c_6 – parametri za izračun učinkovitosti generatora [-]

Korigirana vrijednost toplinskih gubitaka generatora:

$$P_{H,gen,ls,P0,corr} = \frac{P_n}{\eta_{gen,Pn}} \cdot f_{gen,ls,P0} \cdot f_{\frac{H_s}{H_i}} \cdot \left(\frac{\vartheta_{Hc,mn} - \vartheta_{brm}}{\vartheta_{gen,test,P0} - 20} \right)^{1,25} \quad [\text{kW}] \quad (78)$$

$$P_{W,gen,ls,P0,corr} = \frac{P_n}{\eta_{gen,Pn}} \cdot f_{gen,ls,P0} \cdot f_{\frac{H_s}{H_i}} \cdot \left(\frac{\vartheta_{Wc,mn} - \vartheta_{brm}}{\vartheta_{gen,test,P0} - 20} \right)^{1,25} \quad [\text{kW}] \quad (79)$$

ϑ_{brm} – temperatuta prostorije u kojoj se nalazi generator [°C], Tablica 15.

$\vartheta_{gen,test,P0}$ – prosječna testna temperatuta pri nultom opterećenju [°C]

4.2. Proračun pomoćne energije

Pomoćna energija pri punom, djelomičnom i nultom opterećenju računa se prema:

$$P_{aux,Pn} = \frac{c_7 + c_8 \cdot (P_n)^n}{1000} \quad [\text{kW}] \quad (80)$$

$$P_{aux,Pint} = \frac{c_7 + c_8 \cdot (P_n)^n}{1000} \quad [\text{kW}] \quad (81)$$

$$P_{aux,P0} = \frac{c_7 + c_8 \cdot (P_n)^n}{1000} \quad [\text{kW}] \quad (82)$$

c_7, c_8, n – parametri za izračun potrošnje pomoćne energije [-]

4.3. Proračun učinkovitosti, gubitaka i pomoćne energije pri stvarnom opterećenju

Za $0 \leq \beta_{HW} \leq \beta_{int}$

Toplinski gubici računaju se prema:

$$P_{H,gen,ls,Px} = \frac{\beta_H}{\beta_{int}} \cdot (P_{H,gen,ls,Pint,corr} - P_{H,gen,ls,P0,corr}) + P_{H,gen,ls,P0,corr} \quad [\text{kW}] \quad (83)$$

$$P_{W,gen,ls,Px} = \frac{\beta_W}{\beta_{int}} \cdot (P_{W,gen,ls,Pint,corr} - P_{W,gen,ls,P0,corr}) + P_{W,gen,ls,P0,corr} \quad [\text{kW}] \quad (84)$$

Pomoćna energija računa se prema:

$$P_{H,aux,Px} = \frac{\beta_H}{\beta_{int}} \cdot (P_{H,aux,Pint} - P_{H,aux,P0}) + P_{H,aux,P0} \quad [\text{kW}] \quad (85)$$

$$P_{W,aux,Px} = \frac{\beta_W}{\beta_{int}} \cdot (P_{W,aux,Pint} - P_{W,aux,P0}) + P_{W,aux,P0} \quad [\text{kW}] \quad (86)$$

Za $\beta_{int} \leq \beta_{HW} \leq 1$

Toplinski gubici računaju se prema izrazima:

$$P_{H,gen,ls,Px} = \frac{\beta_H - \beta_{int}}{1 - \beta_{int}} \cdot (P_{H,gen,ls,Pn,corr} - P_{H,gen,ls,Pint,corr}) + P_{H,gen,ls,Pint,corr} \quad [\text{kW}] \quad (87)$$

$$P_{W,gen,ls,Px} = \frac{\beta_W - \beta_{int}}{1 - \beta_{int}} \cdot (P_{W,gen,ls,Pn,corr} - P_{W,gen,ls,Pint,corr}) + P_{W,gen,ls,Pint,corr} \quad [\text{kW}] \quad (88)$$

Pomoćna energija računa se prema:

$$P_{H,aux,Px} = \frac{\beta_H - \beta_{Pint}}{1 - \beta_{Pint}} \cdot (P_{H,aux,Pn} - P_{H,aux,Pint}) + P_{H,aux,Pint} \quad [\text{kW}] \quad (89)$$

$$P_{W,aux,Px} = \frac{\beta_W - \beta_{Pint}}{1 - \beta_{Pint}} \cdot (P_{W,aux,Pn} - P_{W,aux,Pint}) + P_{W,aux,Pint} \quad [\text{kW}] \quad (90)$$

Toplinski gubici kada se uzme u obzir vrijeme rada pojedinog sustava (vrijeme korištenja):

$$Q_{H,gen,ls} = P_{H,gen,ls,Px} \cdot t_{H,use} \quad [\text{kWh}] \quad (91)$$

$$Q_{W,gen,ls} = P_{W,gen,ls,Px} \cdot t_{W,use} \quad [\text{kWh}] \quad (92)$$

Pomoćna energija kada se uzme u obzir vrijeme korištenja:

$$W_{H,gen} = P_{H,aux,Px} \cdot t_{H,use} \quad [\text{kWh}] \quad (93)$$

$$W_{W,gen} = P_{W,aux,Px} \cdot t_{W,use} \quad [\text{kWh}] \quad (94)$$

Toplinski gubici kroz ovojnicu generatora:

$$Q_{H,gen,ls,env,rbl} = P_{H,gen,ls,P0,corr} \cdot (1 - f_{brm}) \cdot f_{env} \cdot t_{H,use} \quad [\text{kWh}] \quad (95)$$

$$Q_{W,gen,ls,env,rbl} = P_{W,gen,ls,P0,corr} \cdot (1 - f_{brm}) \cdot f_{env} \cdot t_{W,use} \quad [kWh] \quad (96)$$

f_{env} – dio toplinskih gubitaka tijekom stanja pripravnosti [-]

$f_{env} = 0,5$ za atmosferske kotlove

$f_{env} = 0,75$ za kotlove s ventilatorom

f_{brm} – faktor smanjenja temperature [-], Tablica 15.

Vraćena pomoćna energija:

$$Q_{H,gen,aux,rvd} = W_{H,gen} \cdot f_{aux,rvd} \quad [\text{kWh}] \quad (97)$$

$$Q_{W,gen,aux,rvd} = W_{W,gen} \cdot f_{aux,rvd} \quad [\text{kWh}] \quad (98)$$

$f_{aux,rvd}$ – dio pomoćne energije predan podsustavu razvoda

$f_{aux,rvd} = 0,75$

Iskoristiva pomoćna energija:

$$Q_{H,gen,aux,rbl} = W_{H,gen} \cdot (1 - f_{brm}) \cdot f_{aux,rbl} \quad [\text{kWh}] \quad (99)$$

$$Q_{H,gen,aux,rbl} = W_{H,gen} \cdot (1 - f_{brm}) \cdot f_{aux,rbl} \quad [\text{kWh}] \quad (100)$$

$f_{aux,rbl}$ – dio pomoćne energije predan grijanom prostoru

$f_{aux,rbl} = 1 - f_{aux,rvd}$

Tablica 15. Faktor smanjenja temperature i temperatura prostora gdje se nalazi kotao

Prostor u kojem se nalazi kotao	f_{brm} [-]	ϑ_{brm} [°C]
Vanjski prostor	1	ϑ_e
Kotlovnica	0,3	13
Ispod krova	0,2	5
Grijani prostor	0	20

5. PRORAČUN SPREMNIKA PREMA NORMI EN 15316-5 [5]

5.1. Proračun toplinskih gubitaka spremnika PTV-a

Toplinski gubici spremnika računaju se prema izrazu:

$$Q_{sto,ls} = f_{sto,dis,ls} \cdot \frac{H_{sto,ls}}{1000} \cdot (\vartheta_{sto,set,on} - \vartheta_{sto,amb}) \cdot t_{ci} \quad [\text{kWh}] \quad (101)$$

gdje su:

$f_{sto,dis,ls}$ – korekcijski faktor gubitaka tijekom stanja pripravnosti, govori nam kakav učinak imaju toplinski gubici na cjevovod i dijelove povezane s cjevovodom (projektna vrijednost je 1 ili 3, ovisno o graničnim uvjetima sustava spremnika)

$f_{sto,dis,ls} = 1$ za idealan slučaj

$f_{sto,dis,ls} = 3$ za uobičajeni slučaj s kojim se susrećemo u praksi

$H_{sto,ls}$ – koeficijent gubitaka topline tijekom stanja pripravnosti [W/K]

$\vartheta_{sto,set,on}$ – zadana temperatura spremnika, temperatura na kojoj se gasi pomoćni grijač [$^{\circ}\text{C}$]

$\vartheta_{sto,amb}$ – okolišna temperatura prostorije u kojoj se nalazi spremnik [$^{\circ}\text{C}$]

t_{ci} – vrijeme rada u promatranom periodu [$^{\circ}\text{C}$]

Koeficijent gubitaka definiran je sljedećim izrazom i ovisi o vrsti spremnika

$$H_{sto,ls} = \frac{1000}{c_{sto,4} \cdot c_{sto,5}} \cdot (c_{sto,1} + c_{sto,2} \cdot (V_{sto,tot})^{c_{sto,3}}) \quad [\text{W/K}] \quad (102)$$

$c_{sto,1}, c_{sto,2}, c_{sto,3}, c_{sto,4}, c_{sto,5}$ – parametri potrebni za izračun gubitaka spremnika tijekom stanja pripravnosti, Tablica 16.

$V_{sto,tot}$ – volumen spremnika [l]

Tablica 16. Parametri za proračun toplinskih gubitaka spremnika

Vrsta spremnika	$c_{sto,1}$	$c_{sto,2}$	$c_{sto,3}$	$c_{sto,4}$	$c_{sto,5}$
Horizontalni	0,939	0,0104	1	45	24
Vertikalni $V \geq 75 \text{ l}$	0,224	0,0663	2/3	45	24
Vertikalni $V < 75 \text{ l}$	0,1474	0,0719	2/3	45	24
Solarni spremnik	0	0,16	1/2	1000	1

5.2. Proračun konačne temperature vode unutar spremnika

Temperatura vode unutar spremnika nakon oduzimanja energije za potrebe PTV-a i toplinske gubitke:

$$\vartheta_{sto,tmp1} = \vartheta_{sto,t-1} + \frac{(-Q_{W,out} - Q_{sto,dis,ls} - Q_{W,dis,noconsum}) \cdot 10^6}{\rho_w \cdot C_{p,w} \cdot V_{sto,tot}} \quad [\text{°C}] \quad (103)$$

gdje su:

$\vartheta_{sto,t-1}$ – temperatura vode unutar spremnika iz prethodnog sata [°C]

$Q_{W,out}$ – energija isporučena sustavu PTV-a [kWh]

$Q_{sto,dis,ls}$ – toplinski gubici spremnika [kWh]

$Q_{W,dis,noconsum}$ – toplinski gubitak cirkulacijske petlje tijekom prekida rada [kWh]

ρ_w – gustoća vode [kg/m³]

$C_{p,w}$ – specifični toplinski kapacitet vode [Wh/(kgK)]

Isporučena energija sustavu PTV-a definirana je kao:

$$Q_{W,out} = \min(Q_{W,sto,out,req}; \rho_w \cdot C_{p,w} \cdot V_{sto,tot} \cdot (\vartheta_{sto,t-1} - \vartheta_{W,cold}) / 10^6) \quad [\text{kWh}] \quad (104)$$

$Q_{W,sto,out,req}$ – energija koju je potrebno isporučiti sustavu PTV-a [kWh]

$\vartheta_{W,cold}$ – temperatura hladne vode [°C]

Ako je $\vartheta_{sto,t-1} < \vartheta_{W,out,min}$ vrijedi $Q_{W,out} = 0$

Energija koju je potrebno isporučiti sustavu PTV-a nekim drugim sustavom:

$$Q_{W,sto,nsup} = Q_{W,sto,out,req} - Q_{W,out} \quad [\text{kWh}] \quad (105)$$

Temperatura vode unutar spremnika nakon oduzimanja energije za potrebe grijanja prostora:

$$\vartheta_{sto,tmp2} = \vartheta_{sto,tmp1} - \frac{Q_{H,out} \cdot 10^6}{\rho_w \cdot C_{p,w} \cdot V_{sto,tot}} \quad [\text{°C}] \quad (106)$$

gdje se $Q_{H,out}$ definira kao:

$$Q_{H,out} = \min (Q_{H,sto,out,req}; \frac{\rho_w \cdot C_{p,w} \cdot V_{sto,tot} \cdot (\vartheta_{sto,tmp1} - \vartheta_{H,out,min})}{10^6} + \phi_{sto,BU} \cdot t_{ci}) \quad [\text{kWh}] \quad (107)$$

$Q_{H,sto,out,req}$ – energija koju je potrebno isporučiti sustavu grijanja prostora [kWh]

$\vartheta_{H,out,min}$ – minimalna temperatura potrebna za grijanje prostora [$^{\circ}\text{C}$]

$\phi_{sto,BU}$ – nazivna snaga pomoćnog grijajućeg elementa, odnosno kotla [kW]

$Q_{H,out}$ – energija isporučena sustavu grijanja prostora [kWh]

Ako je $Q_{H,out} < 0$ $Q_{H,out} = 0$

Energija koju je potrebno isporučiti sustavu grijanja nekim drugim sustavom:

$$Q_{H,sto,nsup} = Q_{H,sto,out,req} - Q_{H,out} \quad [\text{kWh}] \quad (108)$$

Potrebna energija pomoćnog grijajućeg elementa:

$$Q_{H,sto,bu,in,tmp} = \frac{\rho_w \cdot C_{p,w} \cdot V_{sto,tot} \cdot (\vartheta_{sto,set,on} - \vartheta_{sto,tmp2})}{10^6} \quad [\text{kWh}] \quad (109)$$

Ako je $\vartheta_{sto,tmp2} > \vartheta_{sto,set,on,bu}$ onda je $Q_{H,sto,bu,in,tmp} = 0$

Stvarna energija koju predaje pomoći grijajući element iznosi:

$$Q_{H,sto,bu,in} = \min (Q_{H,sto,bu,in,tmp}; \phi_{sto,BU} \cdot t_{ci}) \quad [\text{kWh}] \quad (110)$$

Konačna temperatura vode unutar spremnika računa se prema:

$$\vartheta_{sto,t} = \vartheta_{sto,tmp2} + \frac{Q_{H,sto,bu,in} \cdot 10^6}{\rho_w \cdot C_{p,w} \cdot V_{sto,tot}} \quad [^{\circ}\text{C}] \quad (111)$$

5.3. Proračun srednje i povratne temperature vode unutar generatora

Temperatura povratne vode u generator:

$$\vartheta_{HC,RT} = \max \left(\vartheta_{HC,mn} - \frac{Q_{H,sto,bu,in}}{\dot{m}_{bu,n} \cdot C_{p,w} \cdot CONN}; \vartheta_{sto,t} \right) \quad [^{\circ}\text{C}] \quad (112)$$

gdje su:

$\vartheta_{Hc,mn}$ – srednja temperatura vode unutar generatora [°C]

$\dot{m}_{bu,n}$ – nazivni maseni protok vode rezervnog grijajućeg [kg/s]

$CONN$ – opisuje način na koji je rezervni grijajući povezan sa spremnikom

$CONN = 1$ u slučaju direktnih veza

$CONN = 2$ kada je grijajući povezan indirektno sa spremnikom (preko izmjenjivača topline)

Srednja temperatura vode koja prolazi kroz generatora:

$$\vartheta_{Hc,mn} = \vartheta_{sto,t} + \Delta\vartheta_{exh} \quad [°C] \quad (113)$$

$$\Delta\vartheta_{exh} = \frac{Q_{H,sto,bu,in} \cdot 10^3}{H_{exh} \cdot t_{ci}} \quad [°C] \quad (114)$$

$\Delta\vartheta_{exh}$ – efektivna razlika temperature na izmjenjivaču [°C]

H_{exh} - koeficijent izmjene topline izmjenjivača [W/K]

6. PRORAČUN ISPORUČENE I PRIMARNE ENERGIJE [1]

6.1. Proračun isporučene energije

Isporučena energija sustavu (kada imamo jedan generator) računa se prema sljedećem izrazu:

$$E_{del} = E_{H,del} + E_{W,del} \quad [\text{kWh}] \quad (115)$$

$$E_{H,del} = Q_{H,gen,in} + (W_{em,aux} + W_{H,dis,aux} + W_{H,gen,aux}) \quad [\text{kWh}] \quad (116)$$

$$E_{H,del} = Q_{H,gen,in} + (W_{em,aux} + W_{H,dis,aux} + W_{H,gen,aux}) \quad [\text{kWh}] \quad (117)$$

$E_{H,del}$ – isporučena energija sustavu grijanja prostora [kWh]

$E_{W,del}$ – isporučena energija sustavu grijanja PTV-a [kWh]

6.2. Proračun primarne energije

Primarna energija računa se prema izrazu:

$$E_{prim} = E_{H,prim} + E_{W,prim} \quad [\text{kWh}] \quad (118)$$

$$E_{H,prim} = Q_{H,gen,in} \cdot f_{p,i} + (W_{em,aux} + W_{H,dis,aux} + W_{H,gen,aux}) \cdot f_{p,el} \quad [\text{kWh}] \quad (119)$$

$$E_{W,prim} = Q_{W,gen,in} \cdot f_{p,i} + (W_{H,dis,aux} + W_{H,gen,aux}) \cdot f_{p,el} \quad [\text{kWh}] \quad (120)$$

$f_{p,i}$ – faktor primarne energije za i-ti izvor [-]

$f_{p,i} = 1,095$ za prirodni plin, prema [7]

$f_{p,el}$ – faktor primarne energije za električnu energiju [-]

$f_{p,el} = 1,614$, prema [7]

7. OPIS SUSTAVA I TIJEK PRORAČUNA

7.1. Opis zgrade i tehničkog sustava

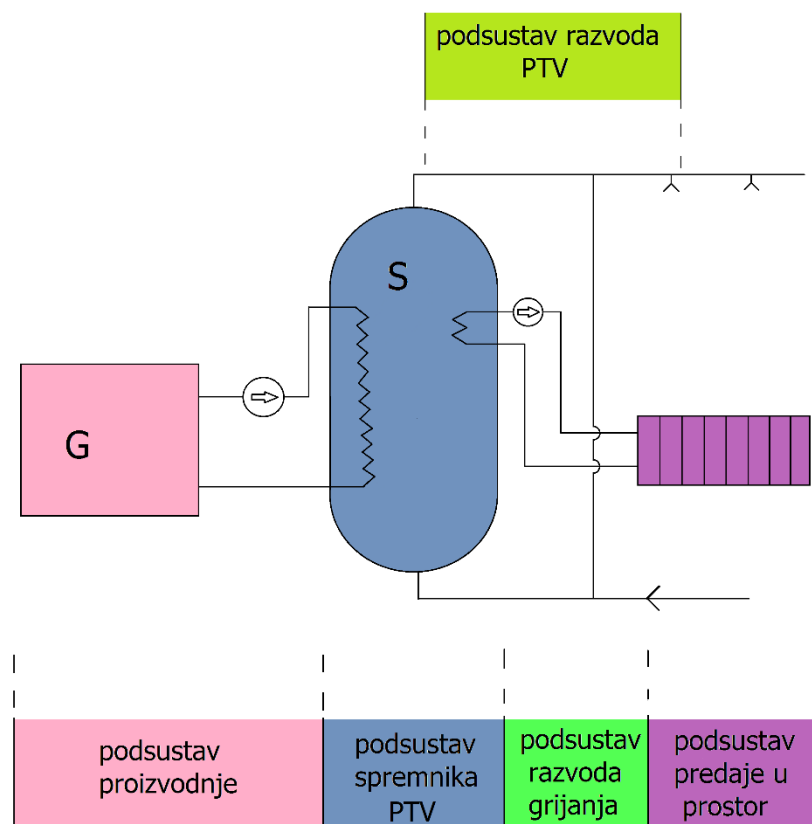
Proračun se vršio za stan koji zadovoljava nZEB standard jedino u pogledu godišnje potrebne energije za grijanje. Pošto se sustav nije mogao prilagoditi svim uvjetima nZEB standarda, on se u ovom slučaju zanemario.

Stan je smješten na području kontinentalne Hrvatske, pa su prema tome klimatski podaci preuzeti iz referentne postaje Zagreb, Maksimir.

Korisna površina zgrade iznosi $75,32 \text{ m}^2$, stan je jednoetažni i predstavlja jednu zonu, jer su sve prostorije u stanu grijane. Unutarnja projektna temperatura tijekom sezone grijanja iznosi 20°C .

Grijanje je etažno. Sustav proizvodnje energije predstavlja kombinirani plinski kotao, snage 24 kW te se nalazi u grijanom prostoru. Kotao je spojen na spremnik PTV-a preko izmjenjivača topline i koristi se za grijanje prostora i PTV-a. Sustav je zamišljen tako da se voda iz spremnika koristi za potrebe korištenja PTV-a i grijanje prostora, odnosno sustav razvoda grijanja spojen je na spremnik preko izmjenjivača topline. Veličina spremnika je 200 l te se također nalazi u grijanom prostoru. Tijekom sezone grijanja, temperatura vode u spremniku iznosi 75°C , a temperatura paljenja pomoćnog grijalača iznosi 70°C . Izvan sezone grijanja, temperatura vode u spremniku iznosi 60°C , a pomoćni grijalač se pali pri 55°C . Sustav razvoda grijanja je dvocijevni, a cijevi nisu toplinski izolirane i nalaze se izvan zidova, u grijanom prostoru. Temperaturni režim grijanja je $70/55^\circ\text{C}$. Ogrjevna tijela su radijatori, ukupne snage $10,9 \text{ kW}$, smješteni na vanjskim zidovima. Sustav nije dinamički balansiran. Temperatura unutar prostora regulirana je pomoću sobnog termostata, smještenog u referentnoj prostoriji. Pošto imamo spremnik, sustav razvoda PTV-a ima cirkulacijsku petlju. Cijevi PTV-a su izolirane i pretpostavka je da je debljina izolacije približno jednaka polovici vanjskog promjera cijevi.

Potrebna godišnja energija za grijanje iznosi $4450,17 \text{ kWh}$, dok je potrebna toplinska energija za pripremu PTV-a $12,5 \text{ kWh/m}^2\text{a}$.



Slika 3. Pojednostavljena shema zadanog termotehničkog sustava

7.2. Tijek proračuna

Proračun se radio za karakterističan dan u mjesecu, prema satnoj metodi, nakon čega je dobiveni rezultat pomnožen s brojem dana u mjesecu. Pošto je za ulazni podatak u proračun potrebno znati toplinsku energiju na izlazu iz podsustav predaje topline, $Q_{em,out}$ koja nam nije poznata, u prvom koraku prepostavljamo da je ona jednaka toplinskoj energiji potrebnoj za grijanje, $Q_{H,nd}$. Nakon što se izvrši cijeli proračun za sve podsustave u pojedinom satu te dobe vrijednosti gubitaka $\sum_i Q_{ls,rvd,i}$, vrijednost $Q_{em,out}$ se računa iterativno prema jednadžbi broj (3).

Podaci $Q_{H,nd}$ preuzeti su iz računalnog programa MGIPU Energetski Certifikator.

Vrijednosti $Q_{H,nd,inc}$ prvotno su također preuzete iz MGIPU-a, međutim, zbog upitne točnosti dobivenih vrijednosti, izračunate su prema preporuci mentora po formuli:

$$Q_{H,nd,inc} = Q_{H,nd} \cdot \left(\frac{\theta_{int,inc} - \theta_{e,avg}}{\theta_{int,ini} - \theta_{e,avg}} \right) \quad [\text{kWh}] \quad (121)$$

Proračun spremnika radio se prema B metodi norme, prema kojoj je temperatura unutar spremnika uniformna, odnosno nema temperaturne stratifikacije. Za proračun spremnika PTV-a je potrebno znati temperaturu vode unutar spremnika iz prethodnog sata. Kako nam taj podatak također nije dostupan, u prvom koraku prepostavljamo da je jednak zadanoj temperaturi vode unutar spremnika. Nakon što izračunamo konačne temperature unutar spremnika, dobivene nakon oduzimanja energija potrebnih za grijanje PTV-a i prostora za svaki sat u danu, početna temperatura u prvom satu jednaka je temperaturi vode unutar spremnika na kraju dana.

8. REZULTATI PRORAČUNA

U sljedećim tablicama dan je prikaz dobivenih vrijednosti po pojedinom podsustavu.

8.1. Podsustav predaje topline zračenjem

Tablica 17. Rezultati proračuna podsustava predaje topline zračenjem

Mjesec	$Q_{em,out}$ [kWh]	$Q_{em,ls}$ [kWh]	$Q_{em,in}$ [kWh]	$W_{em,aux}$ [kWh]
Siječanj	854,87	165,38	1020,25	0,00
Veljača	448,33	117,98	566,31	0,00
Ožujak	193,13	70,72	263,85	0,00
Travanj	12,81	14,87	27,67	0,00
Svibanj	0,00	0,00	0,00	0,00
Lipanj	0,00	0,00	0,00	0,00
Srpanj	0,00	0,00	0,00	0,00
Kolovoz	0,00	0,00	0,00	0,00
Rujan	0,00	0,00	0,00	0,00
Listopad	13,13	21,72	34,85	0,00
Studeni	116,21	81,40	197,61	0,00
Prosinac	559,35	158,97	718,32	0,00
Godišnje	2197,84	631,03	2828,87	0,00

Vidimo da je vrijednost pomoćne energije jednaka nuli tijekom cijele godine, jer sustav ne koristi ventilatore niti uređaje za regulaciju.

8.2. Podsustav razvoda

Tablica 18. Prosječne vrijednosti srednje temperature ogrjevnog medija

Mjesec	θ_m [°C]
Siječanj	29,84
Veljača	27,43
Ožujak	26,07
Travanj	23,80
Svibanj	-
Lipanj	-
Srpanj	-
Kolovoz	-
Rujan	-
Listopad	24,21
Studeni	25,35
Prosinac	30,18

Tablica 19. Rezultati proračuna podsustava razvoda grijanja prostora

Mjesec	$Q_{H,dis,ls}$ [kWh]	$Q_{H,dis,rbl}$ [kWh]	$W_{H,dis,aux}$ [kWh]	$Q_{H,dis,aux,rbl}$ [kWh]	$Q_{H,dis,aux,rvd}$ [kWh]	$Q_{H,dis,in}$ [kWh]
Siječanj	114,54	114,542	6,321	0,632	5,689	1129,109
Veljača	67,99	67,989	4,466	0,447	4,097	630,282
Ožujak	34,10	34,101	3,099	0,310	2,789	295,166
Travanj	4,38	4,379	0,741	0,074	0,667	31,386
Svibanj	0,00	0,000	0,000	0,000	0,000	0,000
Lipanj	0,00	0,000	0,000	0,000	0,000	0,000
Srpanj	0,00	0,000	0,000	0,000	0,000	0,000
Kolovoz	0,00	0,000	0,000	0,000	0,000	0,000
Rujan	0,00	0,000	0,000	0,000	0,000	0,000
Listopad	5,63	5,630	1,020	0,102	0,918	39,558
Studeni	28,30	28,301	3,474	0,347	3,126	222,786
Prosinac	87,46	87,461	6,246	0,625	5,621	801,264
Godišnje	342,40	342,40	25,37	2,54	22,91	3149,55

Iskoristivi toplinski gubici podsustava razvoda grijanja jednaki su ukupnim toplinskim gubicima zbog toga što se cijevi nalaze u grijanom prostoru i smještene su izvan zidova.

Tablica 20. Rezultati proračuna podsustava razvoda PTV-a

Mjesec	$Q_{W,dis,ls,total}$ [kWh]	$Q_{W,dis,rbl}$ [kWh]	$W_{W,dis,aux}$ [kWh]	$W_{W,dis,aux,rbl}$ [kWh]	$Q_{W,dis,aux,rvd}$ [kWh]	Q_W [kWh]	$Q_{W,dis,in}$ [kWh]
Siječanj	136,755	136,755	0,191	0,048	0,143	79,963	216,575
Veljača	123,521	123,521	0,173	0,043	0,129	72,225	195,616
Ožujak	136,755	136,755	0,191	0,048	0,143	79,963	216,575
Travanj	132,343	132,343	0,185	0,046	0,139	77,384	209,588
Svibanj	125,616	125,616	0,175	0,044	0,132	79,963	205,447
Lipanj	121,563	121,563	0,170	0,042	0,127	77,384	198,820
Srpanj	125,616	125,616	0,175	0,044	0,132	79,963	205,447
Kolovoz	125,616	125,616	0,175	0,044	0,132	79,963	205,447
Rujan	121,563	121,563	0,170	0,042	0,127	77,384	198,820
Listopad	136,755	136,755	0,191	0,048	0,143	79,963	216,575
Studeni	132,343	132,343	0,185	0,046	0,139	77,384	209,588
Prosinac	136,755	136,755	0,191	0,048	0,143	79,963	216,575
Godišnje	1555,20	1555,20	2,17	0,54	1,63	941,50	2495,07

Iskoristivi gubici podsustava razvoda grijanja također su jednaki ukupnim toplinskim gubicima zbog načina smještaja cjevovoda unutar prostora.

8.3. Podsustav proizvodnje energije

Tablica 21. Rezultati proračuna podsustava proizvodnje

Mjesec	$Q_{gen,out}$ [kWh]	$Q_{gen,ls}$ [kWh]	$Q_{gen,ls.env,rbl}$ [kWh]	$W_{gen,aux}$ [kWh]	$Q_{gen,aux,rbl}$ [kWh]	$Q_{gen,aux,rvd}$ [kWh]	$Q_{gen,in}$ [kWh]
Siječanj	1526,49	684,97	260,48	22,60	5,65	16,95	2194,50
Veljača	965,83	471,09	230,19	10,83	2,71	8,12	1428,80
Ožujak	642,51	565,97	248,24	15,98	3,99	11,98	1196,49
Travanj	324,36	513,06	235,02	13,64	3,31	9,92	819,61
Svibanj	290,55	353,80	157,95	13,34	3,33	10,00	634,34
Lipanj	281,17	342,39	152,86	12,91	3,23	9,68	613,88
Srpanj	290,55	353,80	157,95	13,34	3,33	10,00	634,34
Kolovoz	290,55	353,80	157,95	13,34	3,33	10,00	634,34
Rujan	281,17	342,39	152,86	12,91	3,23	9,68	613,88
Listopad	385,54	523,97	243,97	13,84	3,51	10,54	904,71
Studeni	524,46	526,84	235,17	14,73	3,68	11,05	1040,25
Prosinac	1178,85	639,41	256,13	19,99	5,00	14,99	1805,84
Godišnje	6982,03	5671,49	2488,76	177,43	44,31	132,92	12521,01

8.4. Podsustav spremnika

Tablica 22. Rezultati proračuna podsustava spremnika

Mjesec	$Q_{sto,ls}$ [kWh]	$Q_{sto,ls,rbl}$ [kWh]	$Q_{H,sto,out,req}$ [kWh]	$Q_{W,sto,out,req}$ [kWh]	$Q_{H,stobu,in,tmp}$ [kWh]
Siječanj	94,40	94,40	1129,11	216,57	1440,08
Veljača	85,26	85,26	630,28	195,62	911,16
Ožujak	94,40	94,40	295,17	216,57	606,14
Travanj	91,35	91,35	31,39	209,59	357,41
Svibanj	68,65	68,65	0,00	205,45	274,10
Lipanj	66,44	66,44	0,00	198,82	265,26
Srpanj	68,65	68,65	0,00	205,45	274,10
Kolovoz	68,65	68,65	0,00	205,45	274,10
Rujan	66,44	66,44	0,00	198,82	265,26
Listopad	94,40	94,40	39,56	216,57	337,57
Studeni	91,35	91,35	222,79	209,59	494,78
Prosinc	94,40	94,40	801,28	216,57	1112,24
Godišnje	984,39	984,39	3149,56	2495,07	6612,19

Može se primijetiti da su toplinski gubici spremnika izvan sezone grijanja manji od gubitaka tijekom sezone grijanja. Razlog je taj što je spremnik grijan na različitu temperaturu. Tijekom sezone grijanja na 75 °C, a izvan sezone grijanja, kada se upotrebljava samo PTV, na 60 °C.

Energija koju treba isporučiti pomoćni grijач manja je izvan sezone grijanja jer se kotao koristi samo za zagrijavanje PTV-a.

Tablica 23. Prosječne vrijednosti temperatura unutar spremnika

Mjesec	$\vartheta_{sto,t}$ [°C]
Siječanj	75,00
Veljača	74,49
Ožujak	73,59
Travanj	73,29
Svibanj	57,62
Lipanj	57,62
Srpanj	57,62
Kolovoz	57,62
Rujan	57,62
Listopad	73,19
Studeni	73,01
Prosinc	74,62

9. USPOREDBA REZULTATA PRORAČUNA

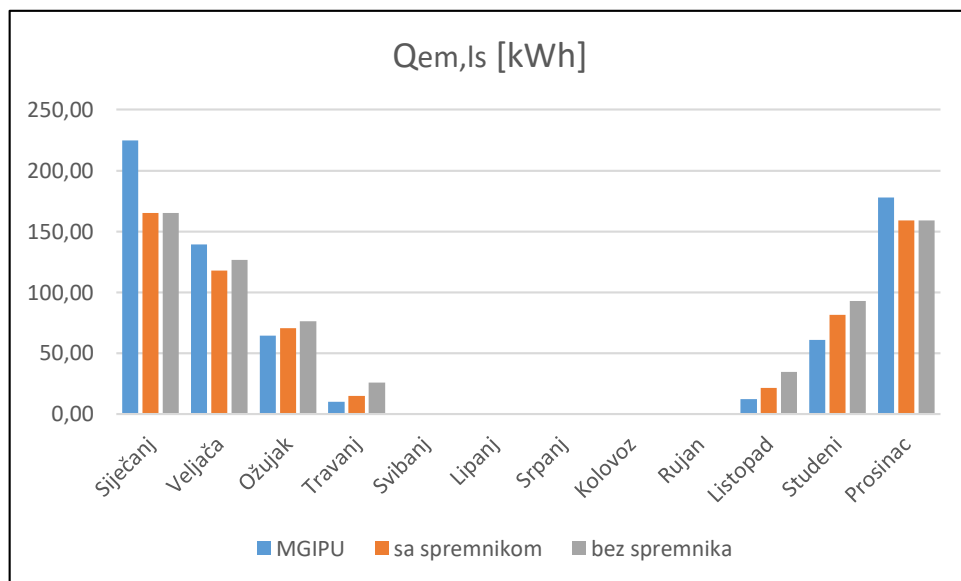
Rezultate sustava za koji je rađen proračun bilo je potrebno usporediti s rezultatima dobivenima u MGIPU Energetskom Certifikatoru. Također je napravljen proračun prema novim normama za slučaj kada nema spremnika, nego su razvod grijanja prostora i razvod PTV-a direktno spojeni na kotao.

Dan je tablični prikaz dobivenih rezultata na mjesечноj i godišnjoj razini. Referentni slučaj predstavljaju vrijednosti dobivene u MGIPU-u.

Radi lakše usporedbe, također je dan i grafički prikaz rezultata, gdje oznaka MGIPU predstavlja rezultate dobivene prema proračunu u Energetskom Certifikatoru (stare norme), oznaka spremnik i bez spremnika predstavljaju rezultate proračuna dobivene prema navedenim normama EN 15316:2017.

Tablica 24. Usporedba toplinskih gubitaka podsustava predaje

Mjesec	MGIPU	SPREMNIK	Razlika	BEZ SP.	Razlika
	$Q_{em,ls}$	$Q_{em,ls}$		$Q_{em,ls}$	
Siječanj	224,61	165,38	-36%	165,38	-36%
Veljača	139,25	117,98	-18%	126,61	-10%
Ožujak	64,57	70,72	9%	76,40	15%
Travanj	10,11	14,87	32%	25,91	61%
Svibanj	0,00	0,00	0%	0,00	0%
Lipanj	0,00	0,00	0%	0,00	0%
Srpanj	0,00	0,00	0%	0,00	0%
Kolovoz	0,00	0,00	0%	0,00	0%
Rujan	0,00	0,00	0%	0,00	0%
Listopad	12,48	21,72	43%	34,50	64%
Studeni	60,97	81,40	25%	93,16	35%
Prosinac	177,71	158,97	-12%	158,97	-12%
Godišnje	689,70	631,03	-9%	680,93	-1%

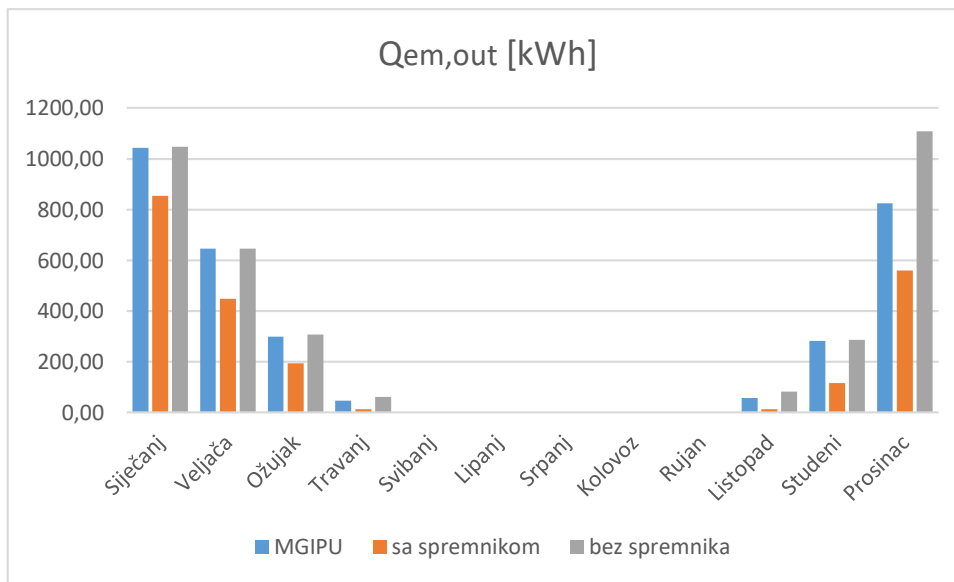


Slika 4. Grafički prikaz usporedbe toplinskih gubitaka sustava predaje topline

Iz prikaza vidimo da su toplinski gubici sustava predaje kada je potreba za grijanjem najveća (siječanj i prosinac) najveći u MGIPU, dok su za slučaj sa i bez spremnika približno jednaki.

Tablica 25. Usporedba izlazne energije iz podsustava predaje

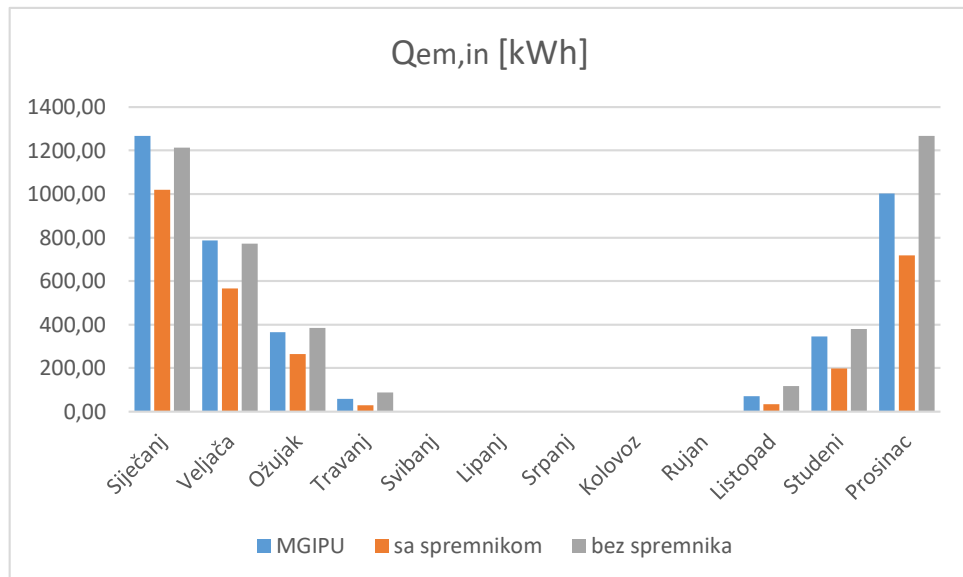
Mjesec	MGIPU	SPREMNIK	Razlika	BEZ SP.	Razlika
	$Q_{em,out}$	$Q_{em,out}$		$Q_{em,out}$	
Siječanj	1042,73	854,87	-22%	1047,69	0%
Veljača	646,46	448,33	-44%	646,37	0%
Ožujak	299,77	193,13	-55%	307,79	3%
Travanj	46,95	12,81	-267%	60,71	23%
Svibanj	0,00	0,00	0%	0,00	0%
Lipanj	0,00	0,00	0%	0,00	0%
Srpanj	0,00	0,00	0%	0,00	0%
Kolovoz	0,00	0,00	0%	0,00	0%
Rujan	0,00	0,00	0%	0,00	0%
Listopad	57,96	13,13	-341%	83,34	30%
Studeni	283,05	116,21	-144%	286,38	1%
Prosinac	825,04	559,35	-47%	1108,56	26%
Godišnje	3201,96	2197,84	-46%	3540,85	10%

**Slika 5. Grafički prikaz izlazne energije iz podsustava predaje**

Iz grafičkog prikaza vidimo da je izlazna energija iz podsustava predaje najmanja u slučaju kada imamo spremnik jer su ukupni iskoristivi gubici najveći. U slučaju kada nemamo spremnik, nema ni toplinskih gubitaka spremnika pa su i ukupni iskoristivi gubici manji.

Tablica 26. Usporedba ulazne energije u podsustav predaje

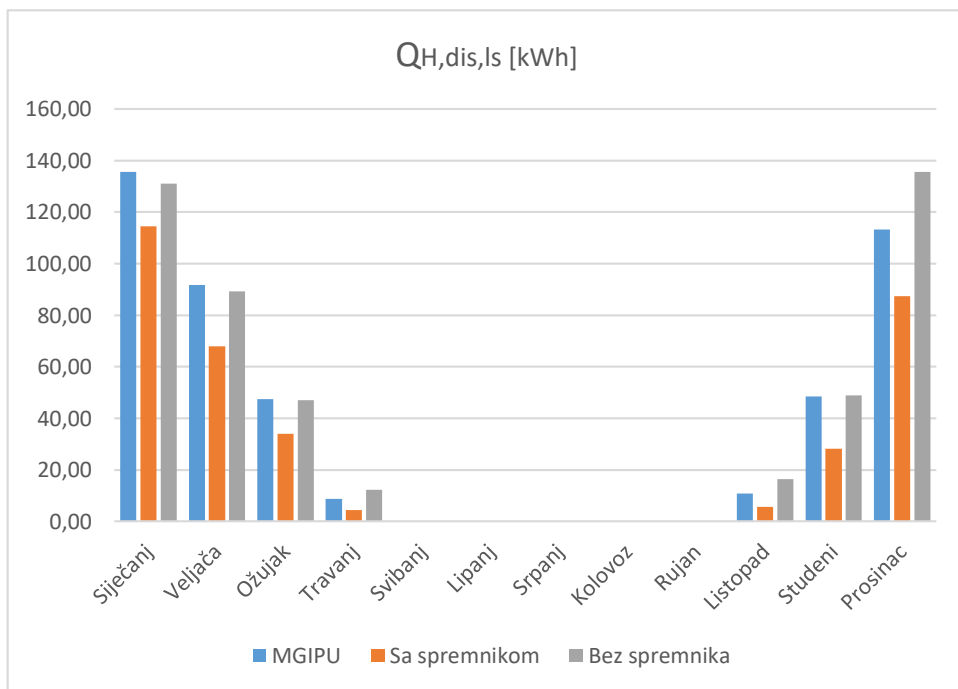
Mjesec	MGIPU	SPREMNIK	Razlika	BEZ SP.	Razlika
	$Q_{em,in}$	$Q_{em,in}$		$Q_{em,in}$	
Siječanj	1267,34	1020,25	-24%	1213,07	-4%
Veljača	785,71	566,31	-39%	772,99	-2%
Ožujak	364,34	263,85	-38%	384,19	5%
Travanj	57,06	27,67	-106%	86,62	34%
Svibanj	0,00	0,00	0%	0,00	0%
Lipanj	0,00	0,00	0%	0,00	0%
Srpanj	0,00	0,00	0%	0,00	0%
Kolovoz	0,00	0,00	0%	0,00	0%
Rujan	0,00	0,00	0%	0,00	0%
Listopad	70,44	34,85	-102%	117,84	40%
Studeni	344,02	197,61	-74%	379,54	9%
Prosinac	1002,75	718,32	-40%	1267,53	21%
Godišnje	3891,66	2828,87	-38%	4221,78	8%

**Slika 6. Grafički prikaz ulazne energije u podsustav predaje**

Ulagana energija u podsustav predaje topline ponaša se u skladu s izlaznom energijom istog podsustava.

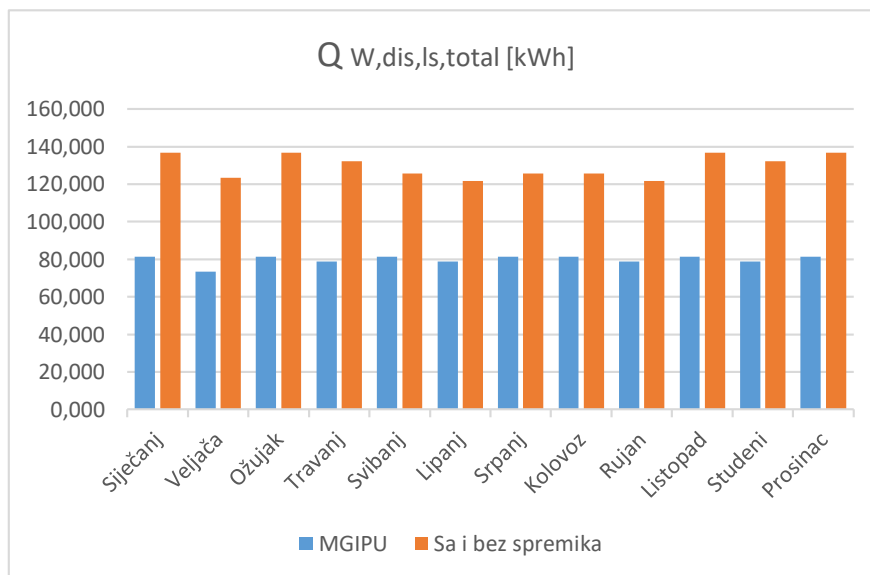
Tablica 27. Usporedba toplinskih gubitaka sustava razvoda grijanja

Mjesec	MGIPU	SPREMNIK	Razlika	BEZ SP.	Razlika
	$Q_{H,dis,ls}$	$Q_{H,dis,ls}$		$Q_{H,dis,ls}$	
Siječanj	135,72	114,54	-18%	131,01	-4%
Veljača	91,78	67,99	-35%	89,34	-3%
Ožujak	47,38	34,10	-39%	47,12	-1%
Travanj	8,77	4,38	-100%	12,25	28%
Svibanj	0,00	0,00	0%	0,00	0%
Lipanj	0,00	0,00	0%	0,00	0%
Srpanj	0,00	0,00	0%	0,00	0%
Kolovoz	0,00	0,00	0%	0,00	0%
Rujan	0,00	0,00	0%	0,00	0%
Listopad	10,85	5,63	-93%	16,35	34%
Studeni	48,42	28,30	-71%	48,85	1%
Prosinac	113,35	87,46	-30%	135,53	16%
Godišnje	456,27	342,40	-33%	480,46	5%

**Slika 7. Grafički prikaz toplinskih gubitaka sustava razvoda grijanja**

Tablica 28. Usporedba toplinskih gubitaka sustava razvoda PTV-a

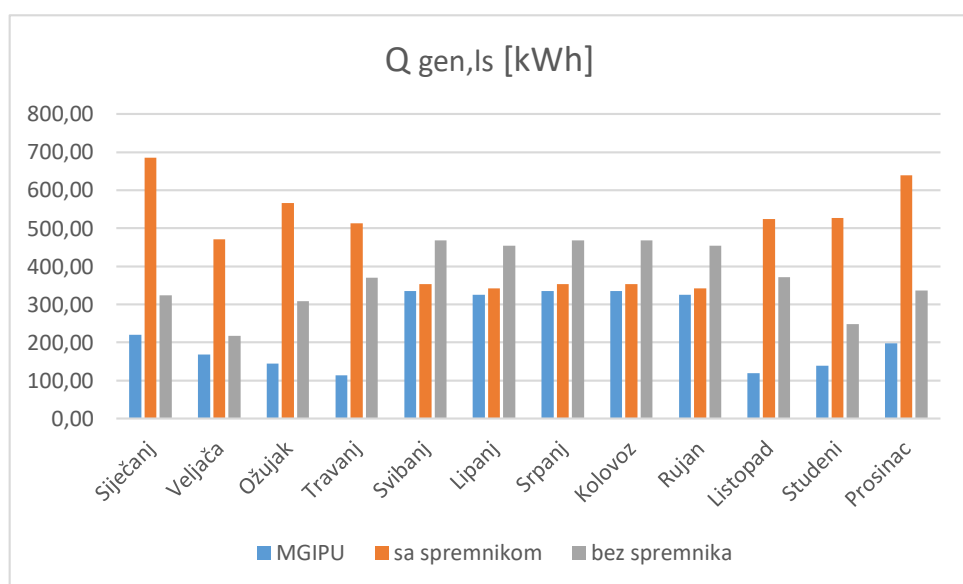
Mjesec	MGIPU	SPREMNIK	Razlika	BEZ SP.	Razlika
	$Q_{W,dis,ls,total}$	$Q_{W,dis,ls,total}$		$Q_{W,dis,ls,total}$	
Siječanj	81,400	136,755	40%	136,755	40%
Veljača	73,530	123,521	40%	123,521	40%
Ožujak	81,400	136,755	40%	136,755	40%
Travanj	78,780	132,343	40%	132,343	40%
Svibanj	81,400	125,616	0%	125,616	0%
Lipanj	78,780	121,563	0%	121,563	0%
Srpanj	81,400	125,616	0%	125,616	0%
Kolovoz	81,400	125,616	0%	125,616	0%
Rujan	78,780	121,563	0%	121,563	0%
Listopad	81,400	136,755	40%	136,755	40%
Studeni	78,780	132,343	40%	132,343	40%
Prosinac	81,400	136,755	40%	136,755	40%
Godišnje	958,45	1555,20	38%	1555,20	38%

**Slika 8. Grafički prikaz toplinskih gubitaka sustava razvoda PTV-a**

U sustavu bez spremnika, ostavljena je cirkulacijska petlja radi bolje usporedivosti sa sustavom gdje imamo spremnik. Zato su vrijednosti toplinskih gubitaka razvoda PTV-a u navedenim slučajevima jednake.

Tablica 29. Usporedba toplinskih gubitaka generatora

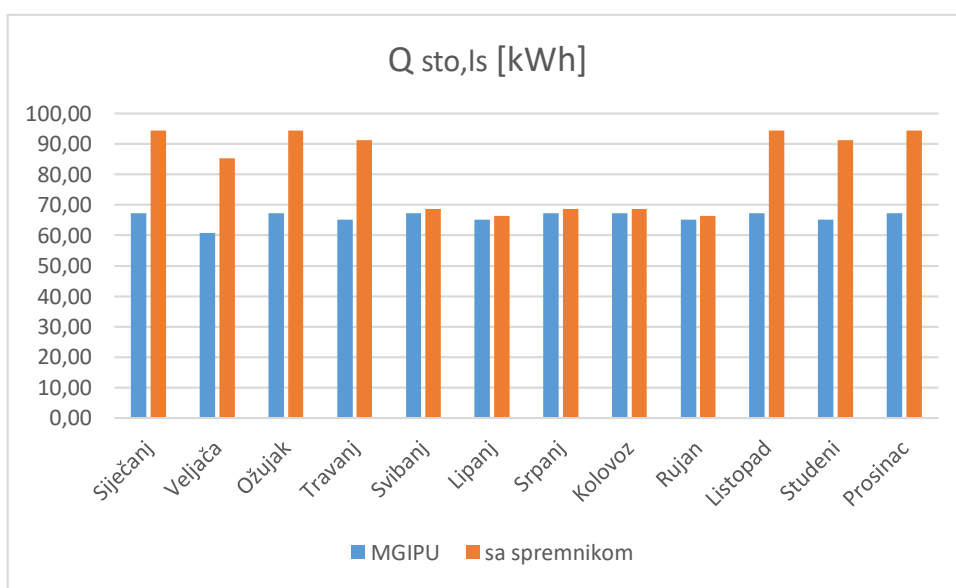
Mjesec	MGIPU	SPREMNIK	Razlika	BEZ SP.	Razlika
	$Q_{gen,ls}$	$Q_{gen,ls}$		$Q_{gen,ls}$	
Siječanj	220,10	684,97	68%	324,302	32%
Veljača	168,69	471,09	64%	216,857	22%
Ožujak	143,88	565,97	75%	308,579	53%
Travanj	114,01	513,06	78%	370,216	69%
Svibanj	335,58	353,80	5%	468,719	28%
Lipanj	324,76	342,39	5%	453,599	28%
Srpanj	335,58	353,80	5%	468,719	28%
Kolovoz	335,58	353,80	5%	468,719	28%
Rujan	324,76	342,39	5%	453,599	28%
Listopad	118,78	523,97	77%	371,351	68%
Studeni	138,52	526,84	74%	248,067	44%
Prosinac	197,94	639,41	69%	336,826	41%
Godišnje	2758,18	5671,49	51%	4489,55	39%

**Slika 9. Grafički prikaz toplinskih gubitaka generatora**

Iz gornjeg prikaza vidimo da su toplinski gubici generatora tijekom sezone grijanja kod zadanog termotehničkog sustava puno veći od vrijednosti dobivenih u MGIPU-u., dok su izvan sezone grijanja približno jednaki. Razlog je vjerojatno taj što je kod odabranog sustava sa spremnikom temperatura unutar generatora veća.

Tablica 30. Usporedba toplinskih gubitaka spremnika PTV-a

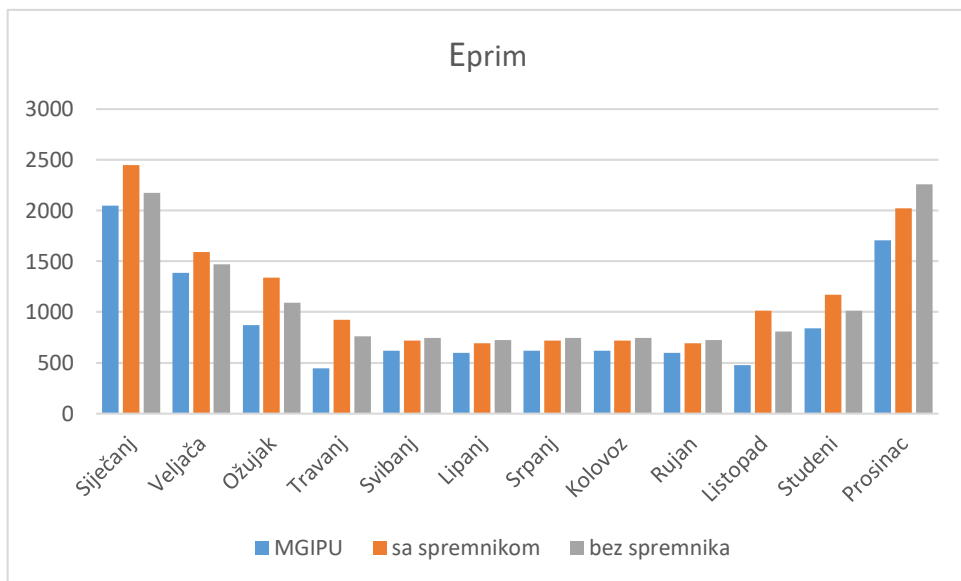
Mjesec	MGIPU	SPREMNIK	Razlika
	$Q_{sto,ls}$	$Q_{sto,ls}$	
Siječanj	67,34	94,40	29%
Veljača	60,82	85,26	29%
Ožujak	67,34	94,40	29%
Travanj	65,17	91,35	29%
Svibanj	67,34	68,65	2%
Lipanj	65,17	66,44	2%
Srpanj	67,34	68,65	2%
Kolovoz	67,34	68,65	2%
Rujan	65,17	66,44	2%
Listopad	67,34	94,40	29%
Studeni	65,17	91,35	29%
Prosinac	67,34	94,40	29%
Godišnje	792,88	984,39	19%

**Slika 10. Grafički prikaz toplinskih gubitaka spremnika PTV-a**

Vidimo da su gubici spremnika približno jednaki izvan sezone grijanja i prema starim i prema novim normama. U MGIPU ne postoji mogućnost promjene temperature vode unutar spremnika te se uzima vrijednost od 60 °C. Tijekom sezone grijanja, u proračunu prema novim normama temperatura vode u spremniku je 75 °C. Iz ovog razloga se javljaju razlike u toplinskim gubicima. Gubici za sezonu grijanja bili bi usporedivi da se odabroa neki drugi temperaturni režim (npr. 55/45 °C).

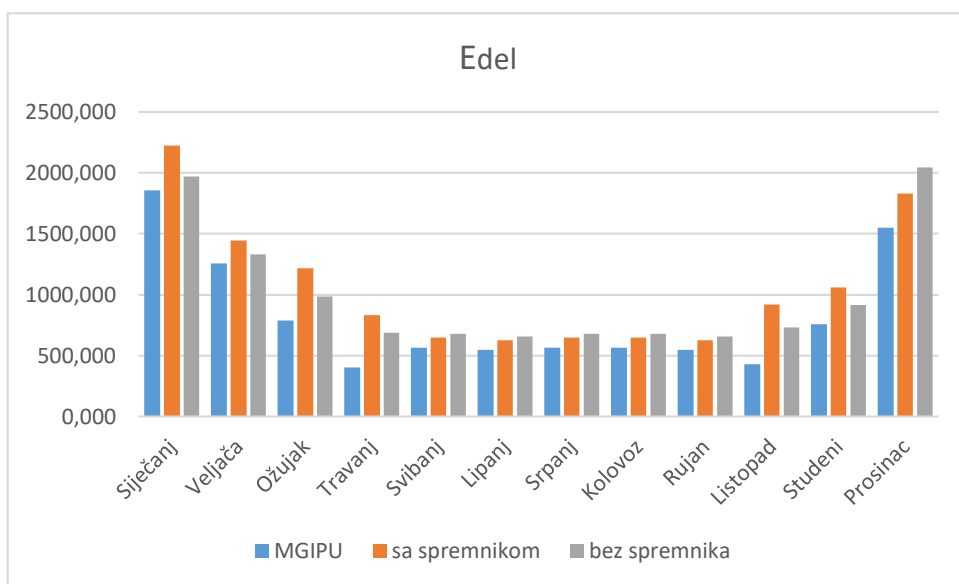
Tablica 31. Usporedba primarne energije

Mjesec	MGIPU	SPREMNIK	Razlika	BEZ SP.	Razlika
	E_{prim}	E_{prim}		E_{prim}	
Siječanj	2045,65038	2449,96798	17%	2174,92335	6%
Veljača	1387,27782	1589,4941	13%	1470,70056	6%
Ožujak	870,37746	1341,25547	35%	1089,70777	20%
Travanj	443,80473	920,983693	52%	759,125035	42%
Svibanj	619,26627	716,416513	14%	745,642445	17%
Lipanj	599,30037	693,306303	14%	721,589463	17%
Srpanj	619,26627	716,416513	14%	745,642445	17%
Kolovoz	619,26627	716,416513	14%	745,642445	17%
Rujan	599,30037	693,306303	14%	721,589463	17%
Listopad	474,89961	1014,94997	53%	809,801731	41%
Studeni	838,45485	1168,75695	28%	1012,80258	17%
Prosinac	1706,7039	2020,0571	16%	2257,46342	24%
Godišnje	10823,5683	14041,3274	23%	13254,6307	18%

**Slika 11. Grafički prikaz primarne energije za pojedini slučaj**

Tablica 32. Usporedba isporučene energije

Mjesec	MGIPU	SPREMNIK	Razlika	BEZ SP.	Razlika
	E_{del}	E_{del}		E_{del}	
Siječanj	1857,500	2223,616	16%	1971,973	6%
Veljača	1257,640	1444,263	13%	1331,589	6%
Ožujak	787,950	1215,760	35%	986,379	20%
Travanj	402,590	834,178	52%	687,493	41%
Svibanj	564,720	647,857	13%	676,596	17%
Lipanj	546,510	626,958	13%	654,770	17%
Srpanj	564,720	647,857	13%	676,596	17%
Kolovoz	564,720	647,857	13%	676,596	17%
Rujan	546,510	626,958	13%	654,770	17%
Listopad	430,480	919,761	53%	733,263	41%
Studeni	756,920	1058,642	29%	915,825	17%
Prosinac	1548,230	1832,273	16%	2047,123	24%
Godišnje	9828,49	12725,979	23%	12012,971	18%

**Slika 12. Grafički prikaz isporučene energije za pojedini slučaj**

Prema gornjem dijagramu vidimo da je godišnja isporučena energija odabranog termotehničkog sustava prema proračunu iz novih normi veća od rezultata dobivenih u MGIPU-u. Sustav sa spremnikom i bez spremnika imaju približno istu vrijednost isporučene energije na godišnjoj razini, što ukazuje da za promatrani slučaj nema potrebe za ugradnjom spremnika PTV-a.

10. ZAKLJUČAK

Promatrajući dobivene rezultate, možemo vidjeti da svaki od podsustava utječe na ukupan rezultat. Vidljivi su nedostaci pojedinih podsustava koji se potencijalno mogu poboljšati kako bi potrošnja primarne energije bila što manja. Krajnje vrijednosti isporučene i primarne energije na godišnjoj razini najmanje su prema proračunu iz MGIPU-a, dok su vrijednosti dobivene prema novim normama približno jednake za sustav sa spremnikom i bez spremnika. Pošto promatrani sustav sa spremnikom ne pokazuje uštedu energije u odnosu na slučaj bez spremnika, nije nužna ugradnja spremnika PTV-a.

Usporedba rezultata proračuna i rezultata dobivenih u MGIPU-u bila bi prikladnija da je odabran drugi temperaturni režim jer bi u tom slučaju toplinski gubici spremnika bili približno jednaki.

LITERATURA

- [1] Dović D., Horvat I., Rodić A., Soldo V., Švaić S., Algoritam za određivanje tehničkih zahtjeva i učinkovitosti termotehničkih sustava u zgradama – Sustavi grijanja prostora i pripreme potrošne tople vode, Zagreb, 2017.
- [2] HRN EN 15316-2:2017 Energijska svojstva zgrade -- Metoda proračuna energijskih zahtjeva i učinkovitosti sustava -- 2. dio: Sustavi predaje topline prostoru (grijanje i hlađenje), Moduli M3-5, M4-5
- [3] HRN EN 15316-3:2017 Energijska svojstva zgrada -- Metoda proračuna energijskih zahtjeva i učinkovitosti sustava -- 3. dio: Sustavi raspodjele u prostoru (PTV, grijanje i hlađenje), Moduli M3-6, M4-6, M8-6
- [4] HRN EN 15316-4-1 Energijska svojstva zgrada -- Metoda proračuna energijskih zahtjeva i učinkovitosti sustava -- Dio: 4-1: Sustavi koji stvaraju toplinu za grijanje prostora i za pripremu potrošne tople vode, sustavi izgaranja (kotlovi, biomasa), Moduli M3-8-1, M8-8-1
- [5] HRN EN 15316-5:2017 Energijska svojstva zgrada -- Metoda proračuna energijskih zahtjeva i učinkovitosti sustava -- 5. dio: Sustavi za akumulaciju topline pri grijanju prostora i pripremi potrošne tople vode (bez hlađenja), M3-7, M8-7 (EN 15316-5:2017)
- [6] Halasz B., Galović A., Boras I., Toplinske tablice, Zagreb, 2013.
- [7] https://mgipu.gov.hr/UserDocsImages/dokumenti/EnergetskaUcinkovitost/meteoroloski_podaci/FAKTORI_primarne_energije.pdf
- [8] www.energysage.com

PRILOZI

I. CD-R disc